

Hydrostaattinen tasapainoyhtälö yleisessä suhteellisuusteoriassa valkoisen kääpiön sovelluksessa

Kandidaatintutkielma, 27.1.2023

Tekijä:

ANTERO VOUTILAINEN

Ohjaaja:

SAMI NURMI



JYVÄSKYLÄN YLIOPISTO
FYSIKAN LAITOS

© 2023 Antero Voutilainen

Julkaisu on tekijänoikeussäännösten alainen. Teosta voi lukea ja tulostaa henkilökohtaista käyttöä varten. Käyttö kaupallisiin tarkoituksiin on kielletty. This publication is copyrighted. You may download, display and print it for Your own personal use. Commercial use is prohibited.

Tiivistelmä

Voutilainen, Antero

Hydrostaattinen tasapainoyhtälö yleisessä suhteellisuusteoriassa valkoisen kääpiön sovelluksessa

LuK-tutkielma

Fysiikan laitos, Jyväskylän yliopisto, 2023, 64 sivua

Tässä kandidaatin tutkielmassa johdattelen lukijan tutustumaan yleisen suhteellisuusteorian käsitteisiin ja notaatioihin. Tutkielmassa tutustutaan muun muassa tensoreihin, Einsteinin yhtälöihin sekä aika-avaruuden kaarevuuteen ja sitä kuvaavaan metriikkaan. Yleiseen suhteellisuusteoriaan tutustumisen lisäksi johdan TOV (Tolmann-Oppenheimer-Volkoff) -yhtälön ratkaisemalla Einstein yhtälöt yleisessä aikainvariantissa, pallosymmetrisessä metriikassa.

Sovellan TOV-yhtälöä myös valkoisten kääpiöiden ja degeneroituneen elektronikaasun tapauksessa ja ratkaisen sen numeerisesti Python-koodilla. Ratkaisuna TOV-yhtälöön saadaan valkoisen kääpiön rakenne, ja useaa tähteä mallintamalla saadaan valkoisen kääpiön massa-säde relaatio, josta pystytään lukemaan valkoisen kääpiön maksimaalinen mahdollinen massa Chandrasekharin rajalla (noin $1.4 M_{\odot}$, jossa M_{\odot} tarkoittaa Auringon massa). Tämän lisäksi vertailen relativistisen ja epärelativistisen hydrostaattisen tasapainoyhtälön eroa massa-säde relaation avulla sekä laskemalla eri teorioiden tiheysprofiilien välisen suhteen.

Avainsanat: opinnäyte, astrofysiikka, suhteellisuusteoria, kosmologia, TOV-yhtälö, valkoinen kääpiö

Abstract

Voutilainen, Antero

Hydrostatic equilibrium equation in general relativity in the white dwarf application
Bachelor's thesis

Department of Physics, University of Jyväskylä, 2023, 64 pages.

In this bachelor's thesis, I introduce the reader to the concepts and notations of general relativity. In the thesis, I will present, among other things, tensors, Einstein's equations and the curvature of space-time and the metric that describes it. In addition to familiarizing myself with the general theory of relativity, I derive the TOV (Tolmann-Oppenheimer-Volkoff) equation by solving the Einstein equations in the general time-invariant, spherically symmetric metric.

I apply the TOV equation also in the case of white dwarfs and degenerate electron gas and solve it numerically with a Python code. As a solution to the TOV equation, the mass, pressure and density profile of the white dwarf is obtained. By modeling several stars, the mass-radius relation of the white dwarf is obtained, from which the maximum possible mass of the white dwarf at the Chandrasekhar limit (approximately $1.4 M_{\odot}$, where M_{\odot} is the Solar mass) can be read. In addition to this, the difference between the relativistic and non-relativistic hydrostatic equilibrium equations are compared using the mass-radius relation and by calculating the ratio between the density profiles of different theories.

Keywords: thesis, astrophysics, theory of relativity, cosmology, TOV-equation, white dwarf

Esipuhe

Haluan kiittää perhettäni, sekä ystäviäni yliopistolla ja muualla saamastani tuesta sekä kuuntelevien korvien lainaamisesta tämän kandidaatin tutkielman opinnäytetyön loppuunsaattamiseksi. Erityisesti haluan myös kiittää Olli Väisästä, joka osasi antaa arvokkaita vinkkejä numeriikan onnistumisen kannalta sekä ohjaajaani Sami Nurmea kärsivällisyydestä ja loistavasta ohjauksesta työn hitaasta etenemisestä huolimatta!

Jyväskylässä 27.1.2023

Antero Voutilainen

Sisällys

Tiivistelmä	3
Abstract	5
Esipuhe	7
1 Johdanto	11
2 Suhteellisuusteorian perusteet	13
2.1 Notaatiot	13
2.2 Avaruuden kaarevuus ja formalismi	15
2.3 Einsteinin yhtälöt	18
3 Hydrostaattiset tasapainoyhtälöt	21
3.1 Pallosymmetrinen ja aikainvariantti aika-avaruus	21
3.2 Tolman-Oppenheimer-Volkoff -yhtälö	25
3.3 Newtonilainen hydrostaattinen tasapainoyhtälö	29
4 Valkoinen kääpiö	31
4.1 Synty	31
4.2 Tilanyhtälö ja rakenne	32
4.3 Relativistisen ja epärelativistisen ratkaisun vertailu	35
5 Päätäntö	39
Lähteet	40
A Python, TOV-yhtälön solveri	45
B Python, Massa-Säde relaatio	53
C Python, Teorioiden suhde	57

1 Johdanto

Einsteinin vuonna 1905 julkaisema suppea suhteellisuusteoria ja vuonna 1915 julkaisema yleinen suhteellisuusteoria ovat hyvin tunnettuja fysiikan teorioita, jotka perustuvat ns. koko fysiikan keskeisimpään periaatteeseen: suhteellisuusperiaatteeseen. Suppea, toiselta nimeltään erityinen, suhteellisuusteoria käsittelee inertiaalikoordinaatistoja (staattisella nopeudella kulkeva koordinaatisto - ei kiihtyvyyttä) sekä niiden kautta havaittavaa liikettä ja voimia. Fysiikan nykykäsitys ajasta ja paikasta laakeassa avaruudessa perustuu suppeaan suhteellisuusteoriaan. [1]

Tässä tutkielmassa perehdytään kuitenkin syvemmin yleiseen suhteellisuusteoriaan sekä sen sisältämiin notaatioihin, termeihin sekä fysikaaliseen merkitykseen. Yleinen suhteellisuusteoria (eng. General relativity, GR) selittää, kuinka massa kytkeytyy painovoimaan Einsteinin yhtälöiden mukaan ja aiheuttaa neliulotteisen aika-avaruuden kaarevuuden. Yleinen suhteellisuusteoria tunnetaan siis yleisenä gravitaatioteorian ja se on luonut pohjan nykyajan kosmologialle sekä avaruuden tutkimukselle nykyaikaisin metodein. [2]

Yleinen suhteellisuusteoria sisältää runsaasti matemaattista formalismia [3], jota esittelen tässä tutkielmassa ennen varsinaiseen aiheeseen siirtymistä. Matemaattisen formalismin esittelyn jälkeen siirryn avaruuden kaarevuuteen, metriikkaan, monistoihin, Einsteinin yhtälöihin sekä muihin yleisestä suhteellisuusteoriasta tuttuihin käsitteisiin. Lopulta ratkaisen Einsteinin yhtälöt analyttisesti yleisessä, aikainvariantissa ja pallosymmetrisessä metriikassa, josta saadaan Einsteinin yhtälöiden ratkaisuksi relativistinen hydrostaattinen tasapainoyhtälö, Tolman-Oppenheimer-Volkof-yhtälö (TOV-yhtälö). Tämän lisäksi palaan hieman takaisin ja johdan myös newtonilaisen teorian hydrostaattiselle tasapainoyhtälölle TOV:n avulla. Hydrostaattista tasapainoyhtälöä voidaan siis soveltaa erinäisiin astrofysikaalisiin kappaleisiin, kuten tähtiin.

Lopuksi sovellan hydrostaattista tasapainoyhtälöä tähtityyppiin nimeltä valkoinen kääpiö. Sovelluksessa ratkaisen TOV:n numeerisesti degeneroituneen elektronikaasun tilanyhtälöllä, josta valkoiset kääpiöt koostuvat, ja josta saadaan ratkaisuna valkoisen kääpiön massa-, paine- ja energiatiheysprofiilit. Energiatiheysprofiilin ratkaisun

avulla vertaan relativistista sekä newtonilaista teoriaa keskenään. Yhden tähden mallintamisen lisäksi mallinnan tähtityyppiä usealla eri keskipisteen energiatiheydellä, josta saan ratkaistua massa-säde relaation sekä havainnollistettua valkoisten kääpiöiden luonteen olevan pääosin epärelativistinen ja teorioiden erojen olevan hyvin pieniä, mutta merkityksellisiä tähden maksimimaalisen mahdollisen massan määrittelevän Chandrasekharin rajan (noin $1.4 M_{\odot}$, jossa M_{\odot} tarkoittaa Auringon massa) lähialueella [4]. Valkoisten kääpiöiden energiatiheyden ratkaisuiden suhdetta vertailemalla huomaa myös, ettei Chandrasekharin rajan lähistöllä teorioiden antamien ratkaisuiden suhde ole täysin triviaali.

2 Suhteellisuusteorian perusteet

Tässä osiossa esittelen yleisen suhteellisuusteorian matemaattisen formalismin perustaa sekä yleisen suhteellisuusteorian antamat Einstein-yhtälöt, jotka kuvaavat avaruuden kaarevuutta ja painovoimaa. Osio perustuu vahvasti lähteeseen [3]. Tämän lisäksi syventävää materiaalia löytyy lähteestä [5] sekä yksinkertaistettua teoriaa löytyy lähteestä [6]. Alkuperäinen Einsteinin julkaisu: ”The Foundation of the General Theory of Relativity” on saatavilla lähteestä [7].

2.1 Notaatiot

Mainitsen tässä vaiheessa lyhyesti yleisesti suhteellisuusteoriassa puhuttavasta notaatiosta: Einsteinin notaatiosta. Einsteinin notaatio on lyhennys summamerkinästä ja tarkoittaa sitä, että mikäli jokin indeksi toistuu, niin sen yli summataan seuraavasti riippuen, onko indeksi kreikkalainen vai latinalainen:

$$A_0B^0 + A_1B^1 + A_2B^2 + A_3B^3 = \sum_{\nu=0}^3 A_\nu B^\nu \equiv A_\nu B^\nu \quad ; \quad \alpha, \beta, \gamma, \dots = 0, 1, 2, 3$$

$$A_1B^1 + A_2B^2 + A_3B^3 = \sum_{i=1}^3 A_i B^i \equiv A_i B^i \quad ; \quad a, b, c, \dots = 1, 2, 3 \quad .$$

Yleensä suhteellisuusteorian laskuissa käytetään myös yleensä konventiota, jossa redusoitu Planckin vakio ja valonnopeus on asetettu arvoon yksi, $\hbar = c = 1$. Einsteinin summaussäännön lisäksi on hyvä esitellä suhteellisuusteoriassa esiintyvien geometrinen objektien, kuten vektoreiden, notaatioita. Euklidisessa avaruudessa vektorit määritellään yksinkertaisimmillaan pisteenä tai ”nuolena” karteesisessa koordinaatistossa. Tämä määritelmä ei yksin riitä yleisen suhteellisuusteorian pohjalle, joten määritellään vektorit, dualivektorit sekä tensorit tarkemmalla geometrisella määritelmällä Minkowskin (merkitään M) avaruudessa, josta on myöhemmin helppo siirtyä muihin yleisempiin aika-avaruuksiin, toisin sanoen monistoihin. Monisto on aika-avaruus, joka voidaan jakaa pieniin palasiin ja kartoittaa R^n -avaruuksiin sekä yhdistää jatkuvalla differentioituvalla tavalla. [3]

Vektorit on tärkeää määritellä koordinaateista riippumattomalla tavalla. Määritellään vektorit siis Minkowskin avaruudessa jonkin mielivaltaisen parametrisoidun jatkuvan käyrän suuntaisderivaattana. Olkoon käyrä

$$c : \mathbb{R} \rightarrow M, \quad c(\lambda) \in M, \quad (1)$$

jossa c on määritelty käyrä ja λ käyräparametri. Käyrän c avulla voidaan nyt määritellä vektorioperaattori

$$v = \frac{d}{d\lambda} = \frac{dx^\mu(c(\lambda))}{d\lambda} \frac{\partial}{\partial x^\mu} \equiv v^\mu \frac{\partial}{\partial x^\mu} = v^\mu \hat{e}_{(\mu)}, \quad (2)$$

jossa v^μ ovat vektorin komponentit ja $\hat{e}_{(\mu)}$ ovat kantavektorit. Vektori v on siis operaattori, joka operoi funktioihin $v(f) : M \rightarrow \mathbb{R}$ ja antaa tällöin sille annetun funktion f derivaatan käyrää $c(\lambda)$ pitkin. Vektori on nyt itsessään invariantti Lorentz-muunnoksissa, mutta sen kantavektorit eivät ole. Kuitenkin kantavektorit voidaan muuntaa normaalisti Lorentz-muunnoksen avulla riippumatta siitä, mitkä vektorin numeeriset komponentit ovat. Vektorit siis muuntuvat Lorentz-muunnoksessa seuraavanlaisesti:

$$x^{\mu'} = \Lambda^\nu_{\mu'} x^\nu = x^\nu, \quad \hat{e}_{(\nu')} = \Lambda^\mu_{\nu'} \hat{e}_{(\mu)} \quad (3)$$

Määritellään vektoreiden lisäksi duaalivektorit.

$$\omega = \omega_\mu dx^\mu = \omega_\mu \hat{\theta}^{(\mu)}, \quad (4)$$

jossa $dx^\mu = \hat{\theta}^{(\mu)}$ on duaalikantavektorit ja ω_μ on duaalivektorin komponentit. Duaalivektori muuntuu Lorentz-muunnoksissa seuraavanlaisesti

$$\omega_{\mu'} = \Lambda^\nu_{\mu'} \omega_\nu, \quad \hat{\theta}^{(\rho')} = \Lambda^\sigma_{\rho'} \hat{\theta}^{(\sigma)}. \quad (5)$$

Tensorit ovat matemaattisia olioita, jotka kuvaavat esimerkiksi voimia, geometrioita tai vastaavia suureita. Olennaisesti tensorit suhteellisuusteoriassa ovat multilineaarisia kuvauksia kollektiivista k duaalivektoreista ja l vektoreista R :näen. Tensorin (k, l) komponentit koordinaattikannassa saadaan operoimalla tensoria kantavektoreilla ja -

duaaleilla [3]

$$T^{\mu_1 \dots \mu_k}_{\nu_1 \dots \nu_l} = T(dx^{\mu_1}, \dots, dx^{\mu_k}, \partial_{\nu_1}, \dots, \partial_{\nu_l}). \quad (6)$$

Intuitiivisesti vektoreita voidaan ajatella normaaleina sarakevektoreina ja duaalivektoreita rivivektoreina. Tensorit ovat puolestaan intuitiivisesti moniulotteisia taulukoita. Vektoreista päästään duaaleihin ja takaisin operoimalla niitä metriikalla:

$$g^{\mu\nu} A_\nu = A^\mu, \quad g_{\mu\nu} B^\nu = B_\mu, \quad (7)$$

jossa $g_{\mu\nu}$, $g^{\mu\nu}$ on metriikka ja käänteismetriikka sekä A on mielivaltainen duaali ja B vektori. [3]

2.2 Avaruuden kaarevuus ja formalismi

Newtonilaisessa fysiikassa tiedetään, että jonkin kappaleen gravitaatio- ja inertiaalimassat ovat samat, $m_i = m_g$. Tämä periaate tunnetaan Heikkona Yhtäsuuruus-Periaatteena, tai toisin sanoen WEP:inä (eng. Weak Equivalence Principle, WEP) [3]. Newtonin toinen laki sanoo, että johonkin kappaleeseen kohdistettu voima on suoraan verrannollinen kappaleen inertiaalimassaan ja kiihtyvyyteen

$$F = m_i a. \quad (8)$$

Inertiaalimassa on olennaisesti vastus, joka koetaan kun kappaleeseen kohdistetaan voima. Nyt Newtonin gravitaatiolaki voidaan kirjoittaa gravitaatiopotentiaalikentän, Φ , gradientin avulla

$$F_g = -m_g \nabla \Phi, \quad (9)$$

josta voimme nähdä suoraan WEP:in nojalla, että vapaasti putoavalle mielivaltaiselle kappaleelle sen kiihtyvyys on gravitaatiopotentiaalikentän gradientti

$$a = -\nabla \Phi. \quad (10)$$

Tästä voidaan päätellä aika-avaruudessa olevan käyriä, joita pitkin mielivaltaiset kiihdyttämättömät kappaleet kulkevat. Näitä käyriä kutsutaan inertiaaleiksi (tai

"vapaasti putoaviksi") liikeradoiksi. Myöhemmin näitä liikeratoja kutsutaan myös geodeeseiksi, joka on olennaisesti määritelmä lyhyimmälle matkalle kahden pisteen välille aika-avaruudessa. Tästä päästään suoraan päätelmään, että massa kaareuttaa aika-avaruutta ja tämä kaarevuus tunnetaan gravitaationa. [3]

Kaareutunutta aika-avaruutta kuvataan monistoilla. Differentioituvat monistot ovat yksi fundamentaaleista matemaattisista ja fysikaalisista konsepteista. Yleensä on totuttu analysoimaan n - dimensioista Euklidista avaruutta, \mathbb{R}^n ja sen ominaisuuksia, kuten laakeaa ja positiivisesti määriteltyä n -dimensioista metriikkaa komponenteilla δ_{ij} . Euklidisten avaruuksien lisäksi on kuitenkin olemassa muitakin avaruuksia, kuten pallo tai torus, jotka käsitetään "kaareutuneiksi" tai muuten topologisesti monimutkaisiksi avaruuksiksi joihin halutaan käyttää tunnettuja työkaluja. [3] [5]

Monisto määritellään siten että monisto vastaa avaruutta, joka voi olla kaareutunut tai topologisesti monimutkainen, mutta lokaaleissa alueissa se näyttää \mathbb{R}^n :ltä sekä on jatkuvasti differentioituva. Monistot siis konstruoidaan sitomalla yhteen näitä avaruuden lokaaleja osia. Ehtona tälle on se, että lokaalien osien dimensiot vastaavat toisiaan, jolloin monisto on n -dimensioinen. Esimerkkejä monistoista on muun muassa: \mathbb{R}^n , n -pallo (S^n) sekä n -Torus (T^n). [3] [5]

Matemaattisesti monisto ei kaipaa metriikkaa, mutta metriikka on kuitenkin määritelty moniston ylimääräiseksi rakenteeksi kuvaamaan sen geometriaa. Yleisessä suhteellisuusteoriassa käsitellään monistoja, jotka on varustettu metriikalla, joka kuvaa gravitaatiota. Metriikka määritellään symmetrisenä (0,2) tensorina

$$g = g_{\mu\nu} dx^\mu \otimes dx^\nu = \begin{pmatrix} g_{00} & g_{01} & g_{02} & g_{03} \\ g_{10} & g_{11} & g_{12} & g_{13} \\ g_{20} & g_{21} & g_{22} & g_{23} \\ g_{30} & g_{31} & g_{32} & g_{33} \end{pmatrix}, \quad (11)$$

jolle pätee

$$\det(g_{\mu\nu}) \neq 0, \quad (12)$$

ja

$$g^{\mu\nu} g_{\mu\nu} = g_{\lambda\sigma} g^{\lambda\sigma} = \delta_\sigma^\mu, \quad (13)$$

jossa $g^{\mu\nu}$ on käänteismetriikka ja δ_σ^μ on Kroneckerin delta, jolle pätee $\delta_\sigma^\mu = 1$, kun $\sigma = \mu$, muulloin se on nolla. Metriikalla on yleisessä suhteellisuusteoriassa tärkeä rooli. Metriikalla on monia sovelluksia, joita esimerkiksi lueteltuna: Metriikka antaa menneisyyden ja nykyisyyden käsitteen; Metriikan avulla voidaan laskea matkan pituus ja ominaisaika; Metriikka määrittelee lyhyimmän matkan kahden pisteen välillä, geodeesit, ja näin ollen testihiukkasen liikkeen; Metriikka korvaa newtonisen gravitaatiokentän Φ ; Metriikka antaa lokaalin inertiaalikehyksen käsitteen ja sitä myöten pyörimättömyyden tunteen; Metriikka määrittelee kausaliteetin määrittämällä valonnopeuden suurimmaksi nopeudeksi, millä mikään signaali voi kulkea; Metriikka korvaa Newtonin mekaniikan Euklidisen kolmiulotteisen pistetulon. [3] Metriikka antaa pituuden määritelmän halutussa aika-avaruudessa. Usein tämä esitetään viivaelementin avulla

$$ds^2 = g_{\mu\nu} dx^\mu dx^\nu, \quad (14)$$

joka voidaan esittää esimerkiksi ”normaalissa” laakeassa aika-avaruudessa Minkowskin metriikkana:

$$ds^2 = dt^2 + dx^2 + dy^2 + dz^2 \equiv \text{diag}(-1, 1, 1, 1) = \begin{pmatrix} -1 & 0 & 0 & 0 \\ 0 & 1 & 0 & 0 \\ 0 & 0 & 1 & 0 \\ 0 & 0 & 0 & 1 \end{pmatrix} = \eta_{\mu\nu}. \quad (15)$$

Teknisesti metriikka ja viivaelementti eivät ole tasan sama asia, mutta se on kuitenkin yleisesti hyväksyttyä. Viivaelementti voi näyttää hyvin erilaiselta Minkowskin metriikkaan verrattuna riippuen siitä millaisessa avaruudessa liikutaan sekä siitä, että millaisia approksimaatioita tehdään laskujen ratkaisemiseksi. Metriikan ohella yleisen avaruuden kaarevuutta kuvaa koordinaateista riippumattomat Riemannin kaarevuustensorit. [3] Aika-avaruuden kaarevuuden todennuksen jälkeen sekä intuitiivisen ajatuksen luomisen jälkeen kaarevuudesta on mahdollista formalisoida edellä esitetyt konseptit kuvaamaan aika-avaruutta. Olennaisimmat termit aika-avaruuden kuvaamiseen ovat Christoffelin konnektio, kovariantti derivaatta sekä Riemannin tensori. Näiden lisäksi olennainen osa formalismia ovat geodeesit, joita ei kylläkään tässä tutielmassa käsitellä. [3] Kaarevan avaruuden kaikki ilmenemismuodot liittyvät vahvasti termiin nimeltä konnektio. Konnektio yleisesti antaa käsityksen siitä,

kuinka viereisten tangenttiavaruuksien vektoreita relatoidaan keskenään. Christoffelin symboli (käytetään myös termiä Christoffelin konnektio) saadaan metriikasta laskemalla

$$\Gamma_{\mu\nu}^{\lambda} = \frac{1}{2}g^{\lambda\sigma}(\partial_{\mu}g_{\nu\sigma} + \partial_{\nu}g_{\sigma\mu} - \partial_{\sigma}g_{\mu\nu}). \quad (16)$$

Vaikka Christoffelin symboli näyttää tensorilta, sitä se ei ole. Tämän vuoksi sitä sanotaan ”objektiksi” tai ”symboliksi”. Fundamentaalisti konnektioita käytetään kovariantin derivaatan (∇_{μ}) määrittelemiseen ja laskemiseen. Kovariantti derivaatta on olennaisesti yleistys osittaisderivaatasta. Vektorikentän kovariantti derivaatta saadaan laskemalla

$$\nabla_{\mu}V^{\nu} = \partial_{\mu}V^{\nu} + \Gamma_{\mu\sigma}^{\nu}V^{\sigma}. \quad (17)$$

Muunlaisten tensoreiden kovariantit derivaatat saadaan samantyyllisillä ilmaisuil- la. Konnektio ilmaantuu myös geodeesiyhtälössä, joka on yleisilmaus lyhyimmälle matkalle kahden pisteen välillä. Lopulta viimeinen tarvittava tekninen esitys kaa- revuudelle sisältyy Riemannin tensoriin, (1, 3) tensori, joka saadaan konnektioiden avulla laskemalla

$$R_{\sigma\mu\nu}^{\rho} = \partial_{\mu}\Gamma_{\nu\sigma}^{\rho} - \partial_{\nu}\Gamma_{\mu\sigma}^{\rho} + \Gamma_{\mu\lambda}^{\rho}\Gamma_{\nu\sigma}^{\lambda} - \Gamma_{\nu\lambda}^{\rho}\Gamma_{\mu\sigma}^{\lambda}. \quad (18)$$

Kaikki tarvittava tieto avaruuden (tai moniston) kaarevuuteen liittyen saadaan Riemannin tensorista. Tensori häviää vain silloin, kun metriikka on täydellisen laakea. Suhteellisuusteorian Einsteinin yhtälöt puolestaan yhdistävät Riemannin tensorin tietyt komponentit energia-liikemäärä tensoriin. [3]

2.3 Einsteinin yhtälöt

Einsteinin yhtälöt ovat yksiä tärkeimpiä yhtälöitä suhteellisuusteoriassa, sillä Einsteinin yhtälöt kuvaavat sitä, miten metriikka kytkeytyy energiaan ja liikemäärään. Näillä Einsteinin yhtälöillä voidaan ratkaista esimerkiksi massa-energia-jakauma tietynlaisessa avaruudessa tai päinvastoin, millainen avaruus seuraa tietyistä massa- jakaumasta. Einsteinin yhtälöt voidaan johtaa monella tavalla. [3, 7] Einstein itse

johti yhtälöt etsimällä korvaajan Newtonin potentiaalin Poissonin yhtälölle

$$\nabla^2\Phi = 4\pi G\rho. \quad (19)$$

Käyttämällä tietoa, että uudessa yhtälössä täytyy olla jokin tensori, joka koostuu metriikan toisista derivaatoista ja on suoraan verrannollinen energia-liikemäärä tensoriin

$$[\nabla^2 g]_{\mu\nu} \propto T_{\mu\nu}, \quad (20)$$

voidaan valita metriikan kenttäyhtälöksi arvaus

$$G_{\mu\nu} = \kappa T_{\mu\nu}. \quad (21)$$

Tästä ratkaisemalla vakion κ arvon sekä tarkastamalla antaako arvaus Newtonisen gravitaation yhtälön Newtonilaisella rajalla voidaan johtaa Einsteinin yhtälöt

$$G_{\mu\nu} = R_{\mu\nu} - \frac{1}{2}Rg_{\mu\nu} = 8\pi GT_{\mu\nu}, \quad (22)$$

jossa G on Newtonin gravitaatiovakio, $R_{\mu\nu}$ on Riccin tensori, R on Riccin skalaari ja $T_{\mu\nu}$ on energia-liikemäärä tensori. Riccin tensori saadaan kontraktoimalla Riemannin tensorin, yhtälö (18), ylin indeksi keskimmäisen alaindeksin kanssa, jolloin saadaan Riccin tensorille yhtälö

$$R_{\mu\nu} = R_{\mu\lambda\nu}^{\lambda} = \partial_{\lambda}\Gamma_{\nu\mu}^{\lambda} - \partial_{\nu}\Gamma_{\lambda\mu}^{\lambda} + \Gamma_{\lambda\sigma}^{\lambda}\Gamma_{\nu\mu}^{\sigma} - \Gamma_{\nu\sigma}^{\lambda}\Gamma_{\lambda\mu}^{\sigma}. \quad (23)$$

Riccin tensori on siis 4×4 - matriisi, joten sillä on yhteensä 16 komponenttia. Riemannin tensorille pätee symmetria ensimmäisen ja kolmannen alaindeksin vaihdon suhteen

$$R_{\mu\lambda\nu}^{\lambda} = R_{\nu\lambda\mu}^{\lambda} \Rightarrow R_{01} = R_{10}, \quad (24)$$

joten lopulta Riccin tensorin laskemiseen riittää kymmenen komponentin laskeminen. Yksi Riccin tensorin komponentti lasketaan Einsteinin summaussäännön (osio 2.1)

mukaan

$$R_{\mu\lambda\nu}^{\lambda} = R_{\mu 0\nu}^0 + R_{\mu 1\nu}^1 + R_{\mu 2\nu}^2 + R_{\mu 3\nu}^3. \quad (25)$$

Riccin skalaari saadaan ottamalla jälki Riccin tensorista metriikan suhteen

$$R = g^{\mu\nu} R_{\mu\nu}. \quad (26)$$

Nämä yhtälöt kertovat, miten aika-avaruus kytkeytyy energia-liikemäärään. Toinen, modernimpi tapa johtaa Einsteinin yhtälöt on aktion ja yleisten liikeyhtälöiden avulla. Energia-liikemäärä -tensori on tensorillinen määre fysiikassa, joka kuvaa energian ja liikemäärän vuota aika-avaruudessa. Lisää tietoa aktiosta ja Riccin tensorista esimerkiksi lähteissä [3, 8].

3 Hydrostaattiset tasapainoyhtälöt

Tavoitteena tässä osiossa on ratkaista Einsteinin yhtälöt pallosymmetrisessä aikainvariantissa metriikassa. Tuloksena ratkaisusta saadaan relativistinen hydrostaattinen tasapainoyhtälö tähdille, toisin sanoen Tolman-Oppenheimer-Volkoff -yhtälö (TOV-yhtälö). Osioon on otettu mallia lähteestä [3].

Ratkaisua varten lasketaan Riccin tensori ja Riccin skalaari, joiden avulla määritetään Einsteinin tensori. Tämän jälkeen aineelle oletetaan ideaalifluidin energia-liikemäärä tensori sekä ratkaistaan Einsteinin yhtälöistä (22) saatava neljän yhtälön yhtälöryhmä.

Osiossa pyrin selittämään TOV:n johdon mahdollisimman ymmärrettävästi. Tämän nojalla osioon sisällytän jonkin verran esimerkkilaskuja, joista osa on laskettu käsin. Suurimman osan välituloksista kuitenkin laskin myös symbolisesti laskentaohjelmalla. Välituloksia vertasin myös kirjallisuudesta [3] löytyviin tuloksiin ja yhtälöihin.

Lopuksi johdan vielä epärelativistisen Newtonilaisen hydrostaattisen tasapainoyhtälön TOV:n avulla. Molemmat hydrostaattiset tasapainoyhtälöt on johdettu myös esimerkiksi lähteissä [9, 10].

3.1 Pallosymmetrinen ja aikainvariantti aika-avaruus

Yhtälön (14) mukaan yleisen, aikainvariantin ja pallosymmetrisen metriikan viivaelementti on muotoa [3]

$$ds^2 = -e^{2\alpha(r)} dt^2 + e^{2\beta(r)} dr^2 + r^2 d\Omega^2, \quad (27)$$

jossa $d\Omega^2$ tarkoittaa kulmaosaa

$$d\Omega^2 = d\theta^2 + \sin^2(\theta) d\phi^2, \quad (28)$$

jossa $\alpha(r)$ ja $\beta(r)$ mielivaltaisia säteestä riippuvia funktioita, käytetään myöhemmin myös pelkistettyä α ja β -merkintää. Tästä saadaan siis metriikan komponenteiksi

$$\begin{aligned} g_{00} &= -e^{2\alpha}, \\ g_{11} &= e^{2\beta}, \\ g_{22} &= r^2, \\ g_{33} &= r^2 \cdot \sin^2(\theta). \end{aligned}$$

Tarkennuksena sanottakoon, että indeksien tapauksissa pätee merkinnät

$$\begin{aligned} 0 = t &\quad \Rightarrow \quad \partial_0 = \partial_t, \\ 1 = r &\quad \Rightarrow \quad \partial_1 = \partial_r, \\ 2 = \theta &\quad \Rightarrow \quad \partial_2 = \partial_\theta, \\ 3 = \phi &\quad \Rightarrow \quad \partial_3 = \partial_\phi. \end{aligned}$$

Kun etsitään metriikalle ratkaisuja, niin otetaan osiossa 2.3 esitetyt Einsteinin yhtälöt (22) ja ratkaistaan tarvittavat suureet. Lasketaan Riccin tensorin ensimmäinen komponentti, R_{00} , mahdollisimman auki esimerkein. Näin ollen yhtälöistä (23) ja (25) saadaan

$$\begin{aligned} R_{00} &= R_{0\lambda 0}^\lambda = \partial_\lambda \Gamma_{00}^\lambda - \partial_0 \Gamma_{\lambda 0}^\lambda + \Gamma_{\lambda\sigma}^\lambda \Gamma_{00}^\sigma - \Gamma_{0\sigma}^\lambda \Gamma_{\lambda 0}^\sigma \\ &= \left[\partial_0 \Gamma_{00}^0 - \partial_0 \Gamma_{00}^0 + \Gamma_{0\sigma}^0 \Gamma_{00}^\sigma - \Gamma_{0\sigma}^0 \Gamma_{00}^\sigma \right] + \left[\partial_1 \Gamma_{00}^1 - \partial_0 \Gamma_{10}^1 + \Gamma_{1\sigma}^1 \Gamma_{00}^\sigma - \Gamma_{0\sigma}^1 \Gamma_{10}^\sigma \right] \\ &+ \left[\partial_2 \Gamma_{00}^2 - \partial_0 \Gamma_{20}^2 + \Gamma_{2\sigma}^2 \Gamma_{00}^\sigma - \Gamma_{0\sigma}^2 \Gamma_{20}^\sigma \right] + \left[\partial_3 \Gamma_{00}^3 - \partial_0 \Gamma_{30}^3 + \Gamma_{3\sigma}^3 \Gamma_{00}^\sigma - \Gamma_{0\sigma}^3 \Gamma_{30}^\sigma \right], \end{aligned}$$

josta saadaan σ :n yli summaamalla lopulta

$$\begin{aligned}
R_{00} = & \left[\partial_0 \Gamma_{00}^0 - \partial_0 \Gamma_{00}^0 \right. \\
& + \left(\Gamma_{00}^0 \Gamma_{00}^0 + \Gamma_{01}^0 \Gamma_{00}^1 + \Gamma_{02}^0 \Gamma_{00}^2 + \Gamma_{03}^0 \Gamma_{00}^3 \right) - \left(\Gamma_{00}^0 \Gamma_{00}^0 + \Gamma_{01}^0 \Gamma_{00}^1 + \Gamma_{02}^0 \Gamma_{00}^2 + \Gamma_{03}^0 \Gamma_{00}^3 \right) \Big] \\
& + \left[\partial_1 \Gamma_{00}^1 - \partial_0 \Gamma_{10}^1 \right. \\
& + \left(\Gamma_{10}^1 \Gamma_{00}^0 + \Gamma_{11}^1 \Gamma_{00}^1 + \Gamma_{12}^1 \Gamma_{00}^2 + \Gamma_{13}^1 \Gamma_{00}^3 \right) - \left(\Gamma_{00}^1 \Gamma_{10}^0 + \Gamma_{01}^1 \Gamma_{10}^1 + \Gamma_{02}^1 \Gamma_{10}^2 + \Gamma_{03}^1 \Gamma_{10}^3 \right) \Big] \\
& + \left[\partial_1 \Gamma_{00}^1 - \partial_0 \Gamma_{10}^1 \right. \\
& + \left(\Gamma_{10}^1 \Gamma_{00}^0 + \Gamma_{11}^1 \Gamma_{00}^1 + \Gamma_{12}^1 \Gamma_{00}^2 + \Gamma_{13}^1 \Gamma_{00}^3 \right) - \left(\Gamma_{00}^1 \Gamma_{10}^0 + \Gamma_{01}^1 \Gamma_{10}^1 + \Gamma_{02}^1 \Gamma_{10}^2 + \Gamma_{03}^1 \Gamma_{10}^3 \right) \Big] \\
& + \left[\partial_1 \Gamma_{00}^1 - \partial_0 \Gamma_{10}^1 \right. \\
& + \left(\Gamma_{10}^1 \Gamma_{00}^0 + \Gamma_{11}^1 \Gamma_{00}^1 + \Gamma_{12}^1 \Gamma_{00}^2 + \Gamma_{13}^1 \Gamma_{00}^3 \right) - \left(\Gamma_{00}^1 \Gamma_{10}^0 + \Gamma_{01}^1 \Gamma_{10}^1 + \Gamma_{02}^1 \Gamma_{10}^2 + \Gamma_{03}^1 \Gamma_{10}^3 \right) \Big].
\end{aligned}$$

Tästä nähdään suoraan, että Christoffelin symboleita on 34, jotka täytyisi laskea. Kuitenkin huomaamalla symmetrian

$$\Gamma_{\mu\nu}^\sigma = \Gamma_{\nu\mu}^\sigma \quad (29)$$

avulla symboleiden määrä vähenee 25:een kappaleeseen. Yhtälöstä (16) saadaan laskettua tarvittavat Christoffelin symbolit. Laskujen helpottamiseksi on hyvä huomata, että metriikan ollessa diagonaalinen

$$g_{\mu\nu} = \text{diag}\left(-e^{2\alpha}, e^{2\beta}, r^2, r^2 \sin^2(\theta)\right), \quad (30)$$

sen käänteismetriikka muodostuu diagonaalikomponenttien käänteislukuista

$$g^{\mu\nu} = \text{diag}\left(\frac{1}{-e^{2\alpha}}, \frac{1}{e^{2\beta}}, \frac{1}{r^2}, \frac{1}{r^2 \sin^2(\theta)}\right). \quad (31)$$

Tällöin Christoffelin symbolin yhtälössä (16) esiintyvä σ summautuu $\{0, 1, 2, 3\}$, mutta nyt σ saa saman arvon kuin λ , koska kaikki muut käänteismetriikan komponentit ovat nollia, $g^{\mu\nu} = 0$, kun $\mu \neq \nu$. Yhtälöstä (16) saadaan siis laskettua konnektiot

seuraavasti

$$\begin{aligned}
\Gamma_{10}^0 &= \frac{1}{2}g^{00}(\partial_1 g_{00} + \partial_0 g_{01} - \partial_0 g_{10}) \\
&= \frac{1}{2}g^{00}\partial_1 g_{00} \\
&= \frac{1}{2}\frac{1}{-e^{2\alpha}} - 2e^{2\alpha}\partial_1\alpha \\
&= \partial_1\alpha(r).
\end{aligned}$$

Vastaavasti laskemalla huomataan, että suurin osa konnektioista on triviaaleja ja lopulta ainoat vaadittavat ei-triviaalit konnektiot Riccin tensorin laskuun ovat

$$\begin{aligned}
\Gamma_{10}^0 &= \partial_1\alpha, & \Gamma_{00}^1 &= e^{2\alpha-2\beta}\partial_1\alpha, \\
\Gamma_{11}^1 &= \partial_1\beta, & \Gamma_{22}^1 &= -\frac{r}{e^{2\beta}}, \\
\Gamma_{33}^1 &= -\frac{r\sin^2(\theta)}{e^{2\beta}}, & \Gamma_{21}^2 &= \Gamma_{31}^3 = \frac{1}{r}, \\
\Gamma_{33}^2 &= -\cos(\theta)\sin(\theta), & \Gamma_{32}^3 &= \cot(\theta).
\end{aligned} \tag{32}$$

Nyt Riccin tensorin ensimmäisen komponentin lasku sievenee huomattavasti triviaalien konnektioiden supistuessa pois muotoon

$$\begin{aligned}
R_{00} &= \partial_1\Gamma_{00}^1 + \Gamma_{11}^1\Gamma_{00}^1 - \Gamma_{00}^1\Gamma_{10}^0 + \Gamma_{21}^2\Gamma_{00}^1 + \Gamma_{31}^3\Gamma_{00}^1 \\
&= e^{2\alpha-2\beta}\left[(\partial_1\alpha)^2 + 2r\partial_1\alpha - \partial_1\alpha\partial_1\beta + \partial_1^2\alpha\right]
\end{aligned}$$

Loput Riccin tensorin ei-triviaalit komponentit saadaan vastaavasti:

$$\begin{aligned}
R_{11} &= -(\partial_1\alpha)^2 + \frac{2\partial_1\beta}{r} + \partial_1\alpha\partial_1\beta - \partial_1^2\alpha, \\
R_{22} &= \frac{1}{e^{2\beta}}\left[e^{2\beta} - r\partial_1\alpha + r\partial_1\beta - 1\right], \\
R_{33} &= \frac{\sin^2(\theta)}{e^\beta}\left[e^{2\beta} - r\partial_1\alpha + r\partial_1\beta - 1\right].
\end{aligned}$$

Tästä on helppo huomata, että Riccin tensori on diagonaalinen ja tällöin Riccin skalaari saadaan yhtälön (26) avulla muotoon

$$R = \frac{2}{r^2e^\beta}\left[e^{2\beta} - r^2(\partial_1\alpha)^2 + 2r\partial_1\beta + r\partial_1\alpha(r\partial_1\beta - 2) - r^2\partial_1^2\alpha - 1\right].$$

Tarvittavien tulosten avulla voidaan siirtyä ratkaisemaan Einsteinin yhtälöitä (22).

3.2 Tolman-Oppenheimer-Volkoff -yhtälö

Nyt Tolman-Oppenheimer-Volkoff -yhtälön johtoa varten ratkaistu Riccin tensori ja Riccin skalaari voidaan sijoittaa metriikan kanssa Einsteinin yhtälöihin (22), josta saadaan Einsteinin tensori. Einsteinin yhtälöiden (22) oikealle puolelle sijoitetaan ideaalifluidin määräämä energia-liikemäärä tensori, jolloin saadaan neljän yhtälön yhtälöryhmä, joka lopulta voidaan ratkaista.

Mallinnettaessa tähteä, sen voidaan olettaa koostuvan ideaalifluidista tietyssä elämänkaaren vaiheessa, jolloin Einsteinin yhtälöissä (22) esiintyvä energia-liikemäärä -tensori määräytyy yhtälön

$$T_{\mu\nu} = (\rho + p)U_\mu U_\nu + pg_{\mu\nu} \quad (33)$$

mukaan [3]. Yhtälössä $\rho(r) = \rho$ on tähden energiatiheys säteen funktiona, $p(r) = p$ on tähden sisäinen paine säteen funktiona ja U_μ on nelinopeus valittuna ajanlaatuiseen suuntaan. Nelinopeuden määritelmistä lepokoordinaatistossa

$$g_{\mu\nu}U^\mu U^\nu = -1, \quad (34)$$

jossa $U^\mu = (1, 0, 0, 0)$, seuraa, että nelinopeus saa muodon

$$\Rightarrow U_\mu = (e^\alpha, 0, 0, 0). \quad (35)$$

Nyt energia-liikemäärä -tensorin komponentit saadaan laskettua suoraan yhtälöstä (33):

$$\begin{aligned} T_{00} &= (\rho + p)U_0U_0 + pg_{00} \\ &= (\rho + p)e^{2\alpha} + p(-e^{2\alpha}) \\ &= \rho e^{2\alpha}. \end{aligned}$$

Vastaavasti muut komponentit laskemalla saadaan energia-liikemäärä -tensoriksi

$$T_{\mu\nu} = \text{diag}(\rho e^{2\alpha}, p e^{2\beta}, p r^2, p r^2 \sin^2(\theta)). \quad (36)$$

Tämän jälkeen sijoitetaan Riccin tensori, Riccin skalaari, metriikka ja energia-liikemäärä tensori Einsteinin yhtälöihin (22)

$$R_{\mu\nu} - \frac{1}{2}Rg_{\mu\nu} = 8\pi GT_{\mu\nu}, \quad (37)$$

josta saadaan kolme toisistaan riippumatonta yhtälöä komponenteille $tt, rr, \theta\theta$ sekä $\theta\theta$ -yhtälöstä riippuva $\phi\phi$. Einsteinin yhtälöistä (22) saadaan siis yhtälöryhmä

$$\left\{ \begin{array}{l} tt : \\ rr : \end{array} \right. \quad \frac{1}{r^2 e^{2\beta}} \left[e^{2\beta} + 2r\partial_1\beta - 1 \right] = 8\pi G\rho, \quad (38)$$

$$\frac{1}{r^2 e^{2\beta}} \left[-e^{2\beta} + 2r\partial_1\alpha + 1 \right] = 8\pi Gp, \quad (39)$$

$$\left\{ \begin{array}{l} \theta\theta : \end{array} \right. \quad \frac{1}{e^{2\beta}} \left[(\partial_1\alpha)^2 + \frac{\partial_1\alpha - \partial_1\beta}{r} - \partial_1\alpha\partial_1\beta + \partial_1^2\alpha \right] = 8\pi Gp, \quad (40)$$

jossa neljäs $\phi\phi$ -yhtälö voidaan jättää huomioitta Einsteinin tensorin komponentin $G_{\phi\phi} = \sin^2(\theta)G_{\theta\theta}$ sekä energia-liikemäärä -tensorin $T_{\phi\phi} = \sin^2(\theta)T_{\theta\theta}$ riippuvuuk-sien vuoksi. Näissä kolmessa yhtälössä on neljä vapausastetta, $\alpha(r)$, $\beta(r)$, $\rho(r)$ ja $p(r)$. Tästä voidaan huomata, että tt -komponentin yhtälö riippuu vain $\beta(r)$ ja $\rho(r)$ funktioista.

Lähdetään eliminoimaan vapausasteita määrittelemällä funktio $m(r)$, jolla korva-taan $\beta(r)$ siten, että

$$m(r) \equiv \frac{r - re^{-2\beta}}{2G} \Rightarrow e^{2\beta} = \left[1 - \frac{2Gm(r)}{r} \right]^{-1}, \quad (41)$$

jolloin metriikka (27) saadaan muotoon

$$ds^2 = -e^{2\alpha(r)} dt^2 + \left[1 - \frac{2Gm(r)}{r} \right]^{-1} dr^2 + r^2 d\Omega^2. \quad (42)$$

Tästä metriikan muodosta huomataan, että sen rr -komponentti g_{rr} on selvä yleistys Schwarzschildin metriikasta, joka kuvaa aika-avaruutta pallosymmetrisen ulkopuolella ja jolle $m(r) = M = \text{vakio}$. Nyt sijoittamalla yhtälö (41) tt -yhtälöön (38), saadaan se sievennettyä muotoon

$$\frac{dm}{dr} = 4\pi\rho r^2, \quad (43)$$

jota integroimalla energiatihedden yli säteen suhteen voidaan identifoida $m(r)$ -

funktio massaksi

$$m(r) = 4\pi \int_0^r \rho(r') r'^2 dr'. \quad (44)$$

Nyt voidaan kuvitella tähti, jonka säde on R ja jonka jälkeen ollaan Schwarzschildin metriikan kuvaamassa tyhjiössä. Jotta Einsteinin yhtälöiden ratkaisu on fysikaalisesti järkevä, täytyy metriikan tähden sisäpuolella ja ulkopuolella olla yhtenevät, joten tähden rajapinnalla ei saa olla epäjatkuvuuksia. Tästä seuraa, että tähden massa (Schwarzschildin massa) täytyy saada integraalista

$$M = m(R) = 4\pi \int_0^R \rho(r) r^2 dr. \quad (45)$$

Tämä voidaan siis fysikaalisesti tulkita massana jonkin määrätyn (tai mitatun) säteen sisällä.

Tähden massan identifioinnin jälkeen rr -komponentti (39) voidaan kirjoittaa $m(r)$:n (41) avulla muotoon

$$\frac{d\alpha}{dr} = \frac{Gm(r) + 4\pi Gr^3 p}{r[r - 2Gm(r)]}. \quad (46)$$

$\theta\theta$ -komponentin yhtälöä (40) on epäkäytännöllistä soveltaa suoraan, vaan sovelletaan jatkuvuusyhtälöä viimeisen vapausasteen eliminoimiseksi, jolloin saadaan relaatio α :n ja $p(r)$:n välille. Jatkuvuusyhtälö kertoo, että energia-liikemäärä tensorin kovariantti derivaatta on nolla [3]

$$\nabla_\mu T^{\mu\nu} = 0. \quad (47)$$

Kovariantti derivaatta saadaan johdettua tensorille yhtälön (17) mukaan (johtoa ei käydä tässä tarkemmin läpi), jolloin (0, 2) tensorille kovariantti derivaatta saa lopulta muodon

$$\nabla_\mu T^{\mu\nu} = \partial_\mu T^{\mu\nu} + \Gamma_{\mu\lambda}^\mu T^{\lambda\nu} + \Gamma_{\mu\lambda}^\nu T^{\mu\lambda} = 0. \quad (48)$$

Tällä yhtälöllä on neljä komponenttia, yksi jokaiselle ν :lle. Laskua varten tarvitaan siis energia-liikemäärä -tensorin käänteistensori sekä aiemmin lasketut Christoffelin symbolit (32). Energia-liikemäärä -tensorin käänteistensori saadaan laskettua

operoimalla sitä käänteisometriikalla yhtälön (7) mukaan

$$T^{\mu\nu} = g^{\mu\lambda} g^{\nu\sigma} T_{\lambda\sigma}. \quad (49)$$

Esimerkkinä ensimmäinen T^{00} komponentti

$$T^{00} = g^{0\lambda} g^{0\sigma} T_{\lambda\sigma} = g^{00} g^{00} T_{00} = \left[\frac{1}{-e^{2\alpha}} \right]^2 \rho e^{2\alpha} = \frac{\rho}{e^{2\alpha}}.$$

Vastaavasti yhtälöllä (49) laskemalla saadaan käänteinen energia-liikemäärä tensori muotoon

$$T^{\mu\nu} = \text{diag}\left(\frac{\rho}{e^{2\alpha}}, \frac{p}{e^{2\beta}}, \frac{p}{r^2}, \frac{p}{r^2 \sin^2(\theta)}\right). \quad (50)$$

Nyt voidaan laskea jatkuvuusyhtälön (48) komponentit. Esimerkkilasku lasketaan tt -komponentille termi kerrallaan. Valitaan siis $\nu = t = 0$. Tällöin yhtälön (48) ensimmäinen termi on

$$\partial_\mu T^{\mu 0} = \partial_0 T^{00} + \partial_1 T^{10} + \partial_2 T^{20} + \partial_3 T^{30} = \partial_0 T^{00} = 0,$$

jossa ei-diagonaalitermit, T^{i0} , on automaattisesti nollia, sekä T^{00} komponentin aika-derivaatta on nolla. Toinen termi

$$\Gamma_{\mu\lambda}^\mu T^{\lambda 0} = \Gamma_{\mu 0}^\mu T^{00} = \left[\Gamma_{00}^0 + \Gamma_{10}^1 + \Gamma_{20}^2 + \Gamma_{30}^3 \right] T^{00} = 0,$$

jossa konnektiot ovat triviaaleja jo laskettujen konnektioiden (32) perusteella. Kolmannesta termistä saadaan

$$\Gamma_{\mu\lambda}^0 T^{\mu\lambda} = \Gamma_{00}^0 T^{00} + \Gamma_{11}^0 T^{11} + \Gamma_{22}^0 T^{22} + \Gamma_{33}^0 T^{33} = 0,$$

jossa on hyödynnetty aikaisemmin laskettuja konnektioita (32). Nähdään siis, että $\nu = t = 0$, eli yhtälö (48) antaa nollatuloksen. Nollatulos tarkoittaa sitä, että se toteutuu automaattisesti annettujen funktioiden, $\alpha(r)$, $\beta(r)$, $\rho(r)$ ja $p(r)$ sekä niiden r -riippuvuuden puitteissa. Vastaavasti laskemalla termeittäin muut jatkuvuusyhtälön (48) komponentit, $\nu = 1, 2, 3$, saadaan tulokseksi, että ainoastaan $\nu = r = 1$ antaa uuden rajoituksen jatkuvuusyhtälön toteutumiseksi. Tästä rajoituksesta saadaan

relaatio $\alpha(r)$ ja $p(r)$ välille:

$$\frac{d\alpha}{dr}(\rho + p) = -\frac{dp}{dr}. \quad (51)$$

Yhdistämällä tämä relaatio yhtälöön (46), saadaan Tolman-Oppenheimer-Volkoff-differentiaaliyhtälö

$$\frac{dp}{dr} = -\frac{(\rho + p)[Gm(r) + 4\pi Gr^3 p]}{r[r - 2Gm(r)]}. \quad (52)$$

Johdettu Tolman-Oppenheimer-Volkoff -yhtälö (52) on siis relativistinen hydrostaattinen tasapainoyhtälö, joka kuvaa sitä, miten tähti pysyy tasapainossa oman gravitaationsa ja sisäisen paineen kanssa. Se kytkee massan, $m(r)$, ja energiatiheyden, $\rho(r)$, keskenään yhtälön (43) nojalla. TOV:n ratkaisemiseksi tarvitaan vielä tähden tilanyhtälö, joka usein määritellään paineena energiantiheyden funktiona. Tällöin tilanyhtälö voidaan ilmaista muodossa

$$p = p(\rho). \quad (53)$$

Yhdessä nämä yhtälöt, (43), (52) ja (53), siis olennaisesti kuvaavat tähden rakenteen. Saadut yhtälöt ovat linjassa tunnetun tiedon ja esimerkiksi lähteiden [3, 10, 11] kanssa.

3.3 Newtonilainen hydrostaattinen tasapainoyhtälö

Hydrostaattinen tasapainoyhtälö voidaan johtaa pienten nopeuksien alueella, toisin sanoen epärelativistisella alueella, siirtymällä SI-yksiköihin sekä asettamalla valonnopeus äärettömään. TOV-yhtälö (52) saadaan SI-yksiköihin kertomalla sitä sopivasti valonnopeudella c ja ottamalla yhteisen tekijän termeistä. Tällöin TOV (52) saadaan muotoon

$$\frac{dp}{dr} = -\frac{Gm\rho}{r^2} \left(1 + \frac{p}{\rho c^2}\right) \left(1 + \frac{4\pi r^3 p}{mc^2}\right) \left(1 - \frac{2Gm}{rc^2}\right)^{-1}, \quad (54)$$

jossa c on valonnopeus. Nyt asettamalla valonnopeuden lähestymään ääretöntä, $c \rightarrow \infty$, sulkutermit yhtälössä (54) saavat arvon yksi:

$$\left(1 + \frac{p}{\rho c^2}\right) \left(1 + \frac{4\pi r^3 p}{mc^2}\right) \left(1 - \frac{2Gm}{rc^2}\right)^{-1} \rightarrow 1, \quad (55)$$

ja TOV-yhtälö saa epärelativistisen muodon

$$\frac{dp}{dr} = -\frac{Gm\rho}{r^2}. \quad (56)$$

Tätä Newtonilaista tasapainoyhtälöä on käsitelty laajemmin esimerkiksi lähteessä [9].

4 Valkoinen kääpiö

Tässä osiossa käyn läpi valkoisten kääpiöiden taustaa ja syntyprosessia sekä ratkaisien aiemmin johdetut hydrostaattiset tasapainoyhtälöt numeerisesti. Ratkaisuna numeerisesta saadaan valkoisen kääpiön massa, paine sekä energiatiheys säteen funktiona. Useaa tähteä mallintamalla saadaan valkoisen kääpiön massa-säde relaatio. Lopuksi tutkin myös relativistisen TOV:n antamaa energiatihedysten ratkaisun suhdetta Newtonilaiseen teoriaan.

4.1 Synty

Valkoiset kääpiöt ovat eräitä tiheimpiä olemassa olevia kappaleita havaittavassa maailmankaikkeudessa. Ne ovat himmeitä ja tiheitä tähtien jäännöksiä sekä viimeisiä matalien ja keskimassaisten tähtien havaittavia elämänkaaren vaiheita. Valkoiset kääpiöt muodostuvat tähdistä, joiden massa on välillä $0,5M_{\odot} \dots 10M_{\odot}$ (M_{\odot} :lla merkitään Auringon massaa). [12]

Valkoisia kääpiöitä syntyy pääasiassa kolmella eri tavalla. Päävaiheen tähden massan ollessa alle puoli Auringon massaa, $< 0,5M_{\odot}$, tähti ei ole tarpeeksi kuuma heliumfuusioon, vaan tähti polttaa kaiken vedyn muodostuessaan samalla siniseksi kääpiöksi. Vedyn loputtua tähdestä fuusioreaktio sammuu, ja tähti on muuttunut valkoiseksi kääpiöksi [13]. Päävaiheen tähden massan ollessa välillä $0,5M_{\odot} \dots 8M_{\odot}$ tähti on riittävän kuuma ylläpitääkseen heliumfuusiota samalla synnyttäen hiiltä ja happea kolmois-alpha-prosessissa [14]. Heliumin palaessa loppuun fuusioreaktiossa tähden ydin muuttuu koostumukseltaan hiileksi ja hapeksi, jolloin tähti menettää uloimmat kerroksensa avaruuteen. Näiden menetettyjen kerrosten materiaaleista muodostuu planetaarinen tähtisumu sekä tähden ytimestä jää hiilestä ja hapesta koostuva valkoinen kääpiö [13]. Päävaiheen tähden massan ollessa välillä $8M_{\odot} \dots 10M_{\odot}$ tähti on tarpeeksi kuuma ylläpitämään myös hiili- ja neonfuusiota. Tässä vaiheessa valkoista kääpiötä kasassa pitävä elektroni-degeneraatiopaine ei riitä pitämään tähden ydintä kasassa vaan se romahtaa ja tähti räjähtää ytimen romahduksen yhteydessä supernovana. Supernovasta on mahdollista jäädä jäljelle olosuhteiden puitteissa hiilestä,

neonista ja magnesiumista koostuva valkoinen kääpiö [15].

Valkoisissa kääpiöissä ei siis tapahdu fuusiota, vaan niiden luminositeetti ja lämpötila johtuu päävaiheen tähden termisen energian jäänteistä [16]. Valkoiset kääpiöt koostuvat pääosin kylmästä fermikaasusta, ja tämän fermikaasun massasta suurin osa on atomien ytimissä. Valkoisen kääpiön koossa pitävä paine vuorostaan syntyy degeneroituneista elektroneista, jolloin ne ovat Paulin kieltosäännön mukaan alimmilla mahdollisilla energiatiiloilla hylkien toisiaan ja estäen niitä romahtamasta atomien ytimiin yhteen singulaariin pisteeseen. Valkoisen kääpiön oman fuusioreaktion puutteen vuoksi sitä pitää kasassa tämä fermikaasun degeneraatiosta johtuva paine. Tästä paineesta ja degeneraatiosta johtuen ideaalista fermikaasusta muodostuva materia on hyvin tiheää. Tälle fermikaasulle voidaan johtaa tilanyhtälö tietyin approksimaatioin. [4, 17]

4.2 Tilanyhtälö ja rakenne

Degeneroituneen elektronikaasun tilanyhtälön johtoa ei tässä työssä käydä erityisen yksityiskohtaisesti läpi, sillä siitä on jo olemassa kattavia lähteitä. Aiheesta löytyy mm. suomenkielinen opinnäytetyö [18]. Tämä osio perustuu pääosin lähteisiin [4, 17]. Laskujen yksinkertaistamista varten valkoisten kääpiöiden materiaa voidaan approksimoida kylmänä ja ideaalina fermikaasuna. Tämä tarkoittaa käytännössä degeneroitunutta elektronikaasua, joka on lähellä absoluuttista nollapistettä. Näiden oletusten nojalla degeneroituneelle elektronikaasun tilanyhtälölle voidaan johtaa statistisen fysiikan avulla kohtalaisen tarkka approksimaatio luonnollisissa yksiköissä ($c = \hbar = \epsilon_0 = k_B = 1$) muotoon [17]

$$P_{deg} = \frac{m_e^4}{24\pi^2} \left[x\sqrt{1+x^2}(2x^3-3) + 3\log[x + \sqrt{1+x^2}] \right], \quad (57)$$

jossa x on degeneroituneen elektronikaasun suurienergisten elektronien relativistisuutta kuvaava kerroin

$$x = \sqrt[3]{\frac{3\pi^2\rho}{\mu_e m_e^3 m_p}}. \quad (58)$$

Näissä yhtälöissä esiintyvät muuttujat ovat μ_e on kaasun muodostavien atomeiden massaluvun ja järjestysluvun suhde, m_e on elektronin massa, m_p on protonin massa ja ρ energiatiheys. Kaasun koostumusta kuvaava vakio voidaan päätellä valkoisen

kääpiön syntyprosessista riippuen. Karkeana arviona valkoisen kääpiön voidaan approximoida koostuvan heliumista, hiilestä tai hapestä, jolloin vakio saa arvon $\mu_e = 2$. [17]

Valkoisen kääpiön rakenteen selvittämiseksi ja elektronikaasun paineen hankalan muodon vuoksi on hyödyllistä ilmoittaa hydrostaattiset tasapainoyhtälöt, (52) ja (56), energiatiheyden derivaattana ketjusäännön ($\frac{dP}{dr} = \frac{dP}{d\rho} \frac{d\rho}{dr}$) avulla muodossa (luonnollisissa yksiköissä $c = \hbar = \epsilon_0 = k_B = 1$)

$$\frac{d\rho}{dr} = -\frac{(\rho + p)[Gm + 4\pi Gr^3 P_{deg}]}{r[r - 2Gm]} \left(\frac{dP_{deg}}{d\rho} \right)^{-1}, \quad (59)$$

ja

$$\frac{d\rho}{dr} = -\frac{Gm\rho}{r^2} \left(\frac{dP_{deg}}{d\rho} \right)^{-1}, \quad (60)$$

joissa

$$\frac{dP_{deg}}{d\rho} = \frac{dP_{deg}}{df} \frac{df}{dx} \frac{dx}{d\rho} \quad (61)$$

$$= ab(3\rho^{\frac{2}{3}})^{-1} \left[\frac{8x^4}{\sqrt{1+x^2}} \right]. \quad (62)$$

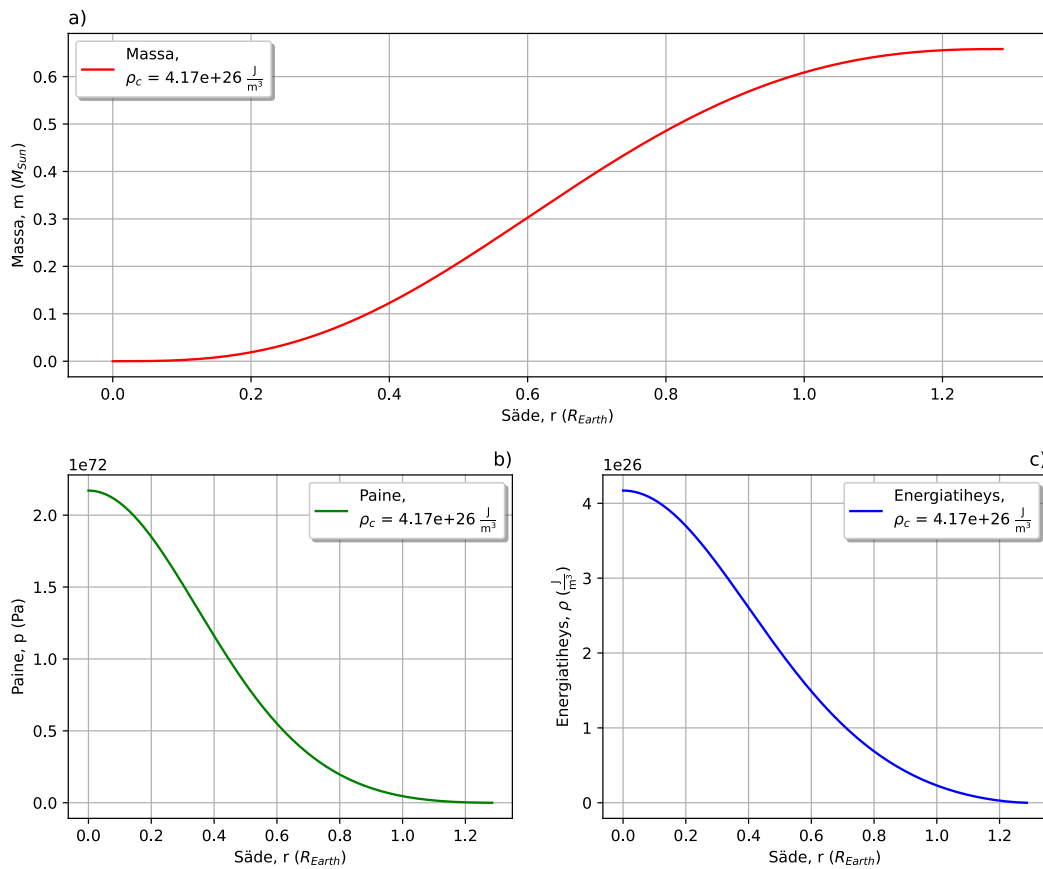
TOV-yhtälössä gravitaatiovakio luonnollisissa yksiköissä on $G = 6,707113 \cdot 10^{-39} \text{GeV}^{-2}$.

Nyt valkoisen kääpiön rakenne voidaan selvittää ratkaisemalla yhtälöt (59) ja (43) elektronikaasun tilanyhtälön (57) avulla numeerisesti. Nämä yhtälöt numeerista ratkaisua varten on kirjoitettu liitteessä D ja yhtälöryhmän ratkaisija on liitteessä A. Ohjelmat ratkaisevat yhtälöt luonnollisissa yksiköissä, mutta ratkaisut esitetään SI-yksiköissä. Yksiköiden muunnoksissa käytettiin apuna lähdettä [19]. Ratkaisua varten yhtälöryhmälle täytyy antaa alkuarvaukset massalle sekä energiatiheydelle integrointialueen alkupisteessä. Singulariteettien ja numeeristen ongelmien välttämiseksi valitaan integrointirajan alkupisteeksi $r_{min} = 0,001 \text{ m} = 5,067 \cdot 10^{12} \text{ GeV}^{-1}$ ja määritetään massan alkuehto

$$m(r_{min}) = \frac{4}{3} \pi \rho(r_{min}) r_{min}^3, \quad (63)$$

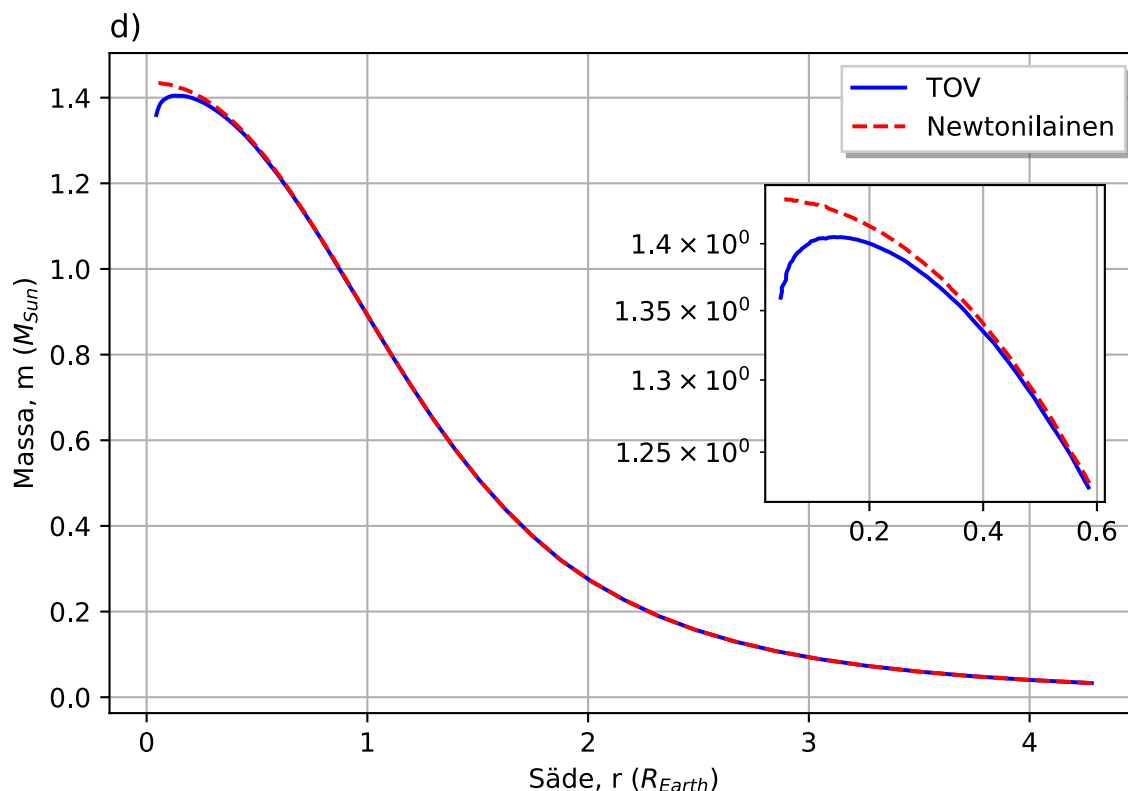
jossa alkuehto $\rho(r_{min})$ vastaa energiatiheyttä valkoisen kääpiön keskipisteessä [9].

Valitsemalla keskipisteen energiatihydeksi $\rho_c = \rho(r_{min}) = 4,17 \cdot 10^{26} \frac{\text{J}}{\text{m}^3} (= 2 \cdot 10^{-11} \text{ GeV}^4)$ saadaan massan alkuehdoksi yhtälöllä (63) $m(r_{min}) = 19,43 \text{ kg} (= 1,09 \cdot 10^{28} \text{ GeV})$. Määritellään myös valkoisen kääpiön rajapinta sille säteelle R_{WD} , jossa elektronikaasun paine saavuttaa arvon nolla $P(R_{WD}) = 0$ [9]. Näillä parametreilla ratkaisuksi saadaan valkoisen kääpiön massa, paine ja energiatiheys, jotka on esitetty säteen funktiona kuvion 1 kuvaajissa a, b ja c.



Kuvio 1. Valkoisen kääpiön rakenne alkuehdolle $\rho_c = 4,17 \cdot 10^{26} \frac{\text{J}}{\text{m}^3} (= 2 \cdot 10^{-11} \text{ GeV}^4)$ ja vastaavalle massalle. Suureet on ilmaistu SI-yksiköissä ja kaikkien kuvaajien x-akselin säde on skaalattu maan säteellä (6371 km). Kuvaajassa a) on massa säteen funktiona, jossa massa on skaalattu Auringon massalla (Auringon massa = $M_{Sun} = 1,9891 \cdot 10^{30} \text{ kg}$). Kuvaajassa b) on degeneroituneen elektronikaasun paine säteen funktiona sekä kuvaajassa c) energiatiheys valkoisen kääpiön sisällä säteen funktiona.

4.3 Relativistisen ja epärelativistisen ratkaisun vertailu



Kuvio 2. Valkoisen kääpiön massa-säde relaatio relativistisella (sininen käyrä) ja epärelativistisella (punainen käyrä) teorialla esitettynä. Pikkukuvassa samat käyrät zoomattuna $(0 - 0,6)R_{Earth}$ alueelle. Käyrät ratkaistiin keskipisteen energiatiheyksien alueella $4,17 \cdot 10^{26} \frac{J}{m^3} \leq \rho_c \leq 1,67 \cdot 10^{32} \frac{J}{m^3}$. x-akseli on skaalattu Maan säteellä ja y-akseli Auringon massalla.

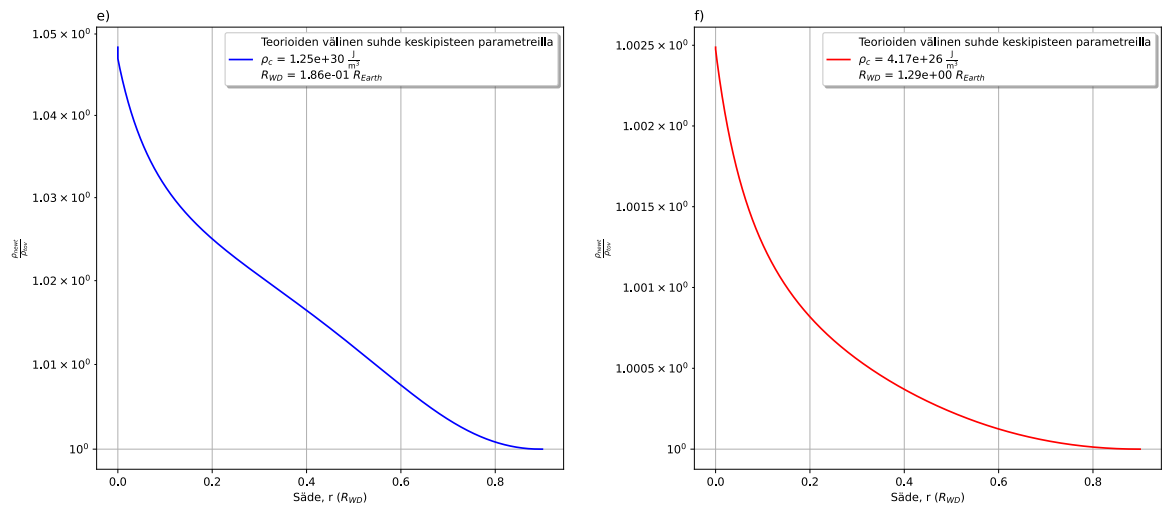
Valkoisia kääpiöitä voidaan mallintaa useammalla eri keskipisteen energiatiheydellä ja tutkia näiden massa-säde-relaatiota. Massa-säde-relaatio kertoo valkoisen kääpiön kokonaismassan ja säteen kytkeytymisen toisiinsa. Seuraavaksi ratkaisen massa-säde relaation sekä relativistella yhtälöllä (59), että Newtonilaisella yhtälöllä (60). Vaikka valkoisen kääpiön lämpötila vaihtelee sen elinaikana suurestikin lämpötilan laskiessa ($T_{WD} \approx 10^7 K \dots 10^3 K$, jossa T_{WD} on valkoisen kääpiön lämpötila [20, 21]) ja havaittujen valkoisten kääpiöiden lämpötilojen ollessa kertaluokkaa $T_{WD} \approx 10^3 K \dots 10^4 K$ [22], niiden voidaan katsoa olevan suurimman osan elinajastaan matalan lämpötilan

alueella, $T_{WD} \lesssim 10^4\text{K}$, joten on perusteltua olettaa niiden olevan epärelativistisia systeemejä, mistä johtuen massa-säde-käyrien eri teorioille pitäisi olla hyvin samanlaatuiset.

Kuvasta 2 huomataan degeneroituneen elektronikaasun hieman epätyypillinen käytös verrattuna esimerkiksi vetykaasusta koostuvaan niin sanottuun elävään tähden, jossa tähden energiatiheyttä kasvattamalla tähden kokonaismassa kasvaa säteen kasvaessa. Degeneroituneelle elektronikaasulle energiatiheyttä kasvattaessa sen kokonaismassa kasvaa, mutta säde pienenee Chandrasekharin rajaan ($\approx 1,4M_{Sun}$ [17]) asti. Tämän lisäksi on havaittavissa selvästi relativistisen ja epärelativistisen teorian välinen ero massa-säde relaatioon suurilla keskipisteen tiheyksillä. Matalilla keskipisteen tiheyksillä teoriat antavat lähelle saman tuloksen, mutta suuremmilla tiheyksillä noin alle $1R_{Earth}$ säteisien valkoisten kääpiöiden kohdalla teoriat alkavat erottua jo toisistaan epärelativistisen teorian antaessa systemaattisesti suurempia arvoja kuin relativistinen teoria. Kuvasta on myös havaittavissa, että relativistinen teoria rajoittaa valkoisen kääpiön kokonaismassan noin $1,4 M_{Sun}$:aan. Tämä raja tunnetaan myös Chandrasekharin rajana, joka on maksimaalinen mahdollinen massa valkoisille kääpiöille. Rajan tarkka arvo riippuu valkoisen kääpiön koostumuksesta. Massa-säde relaation ratkaisija on liitteessä B.

Massa-säde relaatioiden lisäksi relativistisen ja epärelativistisen teorioiden eroa voidaan vertailla ottamalla molempien teorioiden antamien ratkaisuiden energiatiheyksien suhde erilaisilla keskipisteiden energiatiheyksillä. Kuvion 2 massa-säde relaatiosta voidaan jo suoraan tehdä johtopäätös, että relativistiset korjaukset teoriiaan pienillä tiheyksillä ovat hyvin pieniä ja energiatiheyksien suhde on lähellä yhtä, kun taas suurilla tiheyksillä käyrät erottuvat toisistaan selkeästi.

Kuvion 3 kuvaajissa e) ja f) on näiden kahden eri teorian antamien energiatiheyksien välinen suhde. Matalan tiheyden kuvaajasta f) huomataan, että pienillä tiheyksillä suhteellisuusteorian antamat korjaukset ovat verrattain pieniä ja ne lähestyvät huomattavan nopeasti nollaa. Suurilla tiheyksillä taas kuvaajassa e) huomataan, että suhteellisuusteorian antamat korjaukset ovat kertaluokkaa suurempia ja energiatiheyksien suhteeseen muodostuu kumpu, jonka vuoksi teorioiden energiatiheyksien suhde lähestyy hitaammin ykköstä kuin matalilla tiheyksillä. Energiatiheyksien suhteiden numeerinen lasku on liitteessä C.



Kuvio 3. Relativistisen teorian ja epärelativistisen teorian antamien energitiheyksien välinen suhde. X-akseli on skaalattu kyseisen valkoisen kääpiön säteeseen, joka on ilmaistu kuvaajan laatikossa. Y-akselilla on energitiheyksien suhde logaritmisessa skaalassa. Vasen kuvaaja e) on tiheälle tähdelle ja oikea kuvaaja f) harvemmalle tähdelle. Keskipisteiden energitiheydet merkattu laatikkoon.

5 Päätäntö

Tutkielmassani kävin läpi tarvittavia suhteellisuusteorian pohjatietoja relativistisen hydrostaattisen tasapainoyhtälön, Tolman-Oppenheimer-Volkoff -yhtälön, johtamiseksi sekä tarkastelin yhtälöä epärelativistisella rajalla johtaen newtonilaisen hydrostaattisen tasapainoyhtälön. Avaruuden kaarevuuden, metriikan ja vektoreiden konseptuaalisen käsityksen luomisen jälkeen siirryin esittelemään matemaattista formalisimia, johon kuuluu muun muassa kovariantti derivaatta, Riemannin tensori, Christoffelin konnektio sekä Einsteinin yhtälöt. Teoreettisen formalismin jälkeen johdin TOV-yhtälöt sekä ratkaisin ne numeerisesti Python-ohjelmointikielellä luonnollisissa yksiköissä ja tulokset esittelin SI-yksiköissä. Käytetyt ohjelmat on esitelty liitteissä A, B, C ja D.

Työssä laskin tarvittavat Christoffelin konnektiot Riccin tensorin ratkaisua varten esimerkkilaskuja esitellen. Riccin tensorista päästiin Einsteinin yhtälöihin, joista saatiin ideaalifluidin energia-liikemäärä tensorin avulla ratkaisuksi Tolman-Oppenheimer-Volkoff yhtälön. Yhtälöt olettavat staattisen ja pallosymmetrisen aika-avaruuden. Sovellettaessa tasapainoyhtälöitä esimerkiksi valkoisen kääpiön tapauksessa oletin valkoisen kääpiön pyörimismäärän ja pimeän aineen vaikutuksen olevan nolla, näiden olettamuksen lisäksi oletin valkoisen kääpiön koostuvan heliumista, hiilestä tai hapesta.

Numeriikasta saadut tulokset olivat pääosin odotettuja. Valkoisen kääpiön energiatiheys ja paine laskivat oletetunlaisesti massan kasvaessa hitaasti maksimiarvoonsa. Massa-säde relaatiosta pystyttiin ratkaisemaan Chandrasekharin raja sekä vertailemaan relativistisen ja epärelativistisen teorian eroa tiheiden tähtien tapauksessa. Tulosten luotettavuudesta ja Python-ohjelmien toimivuudesta saadaan hyvä käsitys vertailemalla tuloksia lähteisiin [11, 23, 24], joissa on laskettu valkoisten kääpiöiden massa-säde relaatiota lämpötilan nollapisteessä sekä tehty yleisiä suhteellisuusteoreettisia laskuja valkoisille kääpiöille. Luotettavuuden lisäksi lisää tietoa käytetyistä metodeista sekä Python-kielestä löytyy lähteestä [25].

Huomiona sanottakoon, että ohjelmassa käytettyjen muuttujien vuoksi ajoaika kasvaa huomattavasti integrointiaskelen pienentyessä paremman resoluution saavut-

tamiseksi. Ohjelmaa voisi parantaa muun muassa esittämällä ratkaistavat muuttujat eri tavalla skaalaamalla ne esimerkiksi keskipisteen energiatiheyden yksiköihin. Koodi on saatavilla myös julkisena githubista lähteestä [26]. Tuloksissa en myöskään käsitellyt numeerista virhettä ollenkaan, joten TOV-käyrän epätasaisuus kuvassa $2 R_{WD} \leq 0.2 R_{Earth}$ alueella johtuu todennäköisesti tästä numeerisesta virheestä. Yksittäisten tähtien kohdalla eri teorioiden antamat energiatiheyden suhteet olivat odotetut. Tiheille valkoisille kääpiöille energiatiheyksien suhde oli kertaluokkaa suurempi kuin harvoille valkoisille kääpiöille. Energiatiheyksien suhteeseen muodostuneesta kummusta huolimatta suhteellisuusteoreettiset korjaustermit hävisivät nopeasti tähden rajapintaa lähestyttäessä. Harvemmillä valkoisilla kääpiöillä energiatiheyksien suhde näyttää lähes samanlaiselta ja suhteellisuusteoreettiset korjaustermit ovat hyvin pieniä ja häviävät nopeasti.

Sopivia jatkotutkimuksen aiheita olisi esimerkiksi kuvion 3 kuvaajassa e) esiintyvän kummun lähtöperän selvittäminen tai muiden muuttujien, kuten pyörimismäärän ja pimeän aineen vaikutuksen, mallintaminen äärimmäisen tiheissä kappaleissa.

Lähteet

- [1] J. C. Mbagwu, Z. L. Abubakar ja J. O. Ozuomba. ”A Review Article on Einstein Special Theory of Relativity”. *International Journal of Theoretical and Mathematical Physics* 0 (2020), s. 65–71. URL: <http://article.sapub.org/10.5923.j.ijtmp.20201003.03.html>.
- [2] A. Dey. *General Relativity: A Simple Discussion [Review]*. The Journal of Young Physicists, tammikuu 2021. URL: <https://www.journalofyoungphysicists.org/post/general-relativity-a-simple-discussion-review> (viitattu 27.01.2023).
- [3] S. M. Carroll. *Spacetime and geometry : an introduction to general relativity*. Cambridge Cambridge University Press, 2019.
- [4] S. Chandrasekhar. *An introduction to the study of stellar structure*. New York] Dover Publications, 1967.
- [5] R. M. Wald. *General relativity*. Univ. Of Chicago Press, 2009.
- [6] D. McMahon ja P. M. Alsing. *Relativity Demystified*. McGraw Hill Professional, joulukuu 2005.
- [7] A. Einstein. ”Die Grundlage der allgemeinen Relativitätstheorie”. *Annalen der Physik* 354 (1916), s. 769–822. DOI: 10.1002/andp.19163540702.
- [8] R. P. Feynman, F. B. Morinigo ja W. G. Wagner. ”Feynman Lectures on Gravitation”. *European Journal of Physics* 24 (toukokuu 2003). DOI: 10.1088/0143-0807/24/3/702. (Viitattu 27.01.2023).
- [9] S. D. Miller. ”The Fundamental Equilibrium Equation For Gaseous Stars And The Tolman-Oppenheimer-Volkoff Equation – Derivations And Applications With Emphasis On Optimisational-Variational Methods”. *arXiv:2109.02017 [gr-qc, physics:math-ph]* (syyskuu 2021). DOI: 10.48550/ARXIV.2109.02017. URL: <https://arxiv.org/abs/2109.02017> (viitattu 27.01.2023).

- [10] E. Chávez Nambo ja O. Sarbach. ”Static spherical perfect fluid stars with finite radius in general relativity: a review”. *Revista Mexicana de Física E* 18 (heinäkuu 2021). DOI: 10.31349/revmexfise.18.020208. (Viitattu 27.01.2023).
- [11] A. Mathew ja M. K. Nandy. ”General relativistic calculations for white dwarfs”. *Research in Astronomy and Astrophysics* 17 (toukokuu 2017), s. 061. DOI: 10.1088/1674-4527/17/6/61. (Viitattu 27.01.2023).
- [12] D. Saumon, S. Blouin ja P.-E. Tremblay. ”Current Challenges in the Physics of White Dwarf Stars”. *Physics Reports* 988 (marraskuu 2022), s. 1–63. DOI: 10.1016/j.physrep.2022.09.001. URL: [https://www.sciencedirect.com/science/article/pii/S0370157322003180?via%5C%\\$3Dihub](https://www.sciencedirect.com/science/article/pii/S0370157322003180?via%5C%$3Dihub) (viitattu 27.01.2023).
- [13] S. Jeffery. ”Stellar Evolution beyond the Main Sequence”. *Astronomy Now Magazine* (kesäkuu 1998). URL: <https://web.archive.org/web/20150404004046/http://star.arm.ac.uk/~csj/pus/astnow/astnow.html> (viitattu 27.01.2023).
- [14] K. Nomoto, F. Thielemann ja S. Miyaji. ”The triple alpha reaction at low temperatures in accreting white dwarfs and neutron stars”. *Astronomy and Astrophysics* 149 (elokuu 1985), s. 239–245. URL: [https://ui.adsabs.harvard.edu/abs/1985A%5C%\\$26A...149..239N/abstract](https://ui.adsabs.harvard.edu/abs/1985A%5C%$26A...149..239N/abstract) (viitattu 27.01.2023).
- [15] K. Werner ym. ”On Possible Oxygen/Neon White Dwarfs: H1504+65 and the White Dwarf Donors in Ultracompact X-ray Binaries”. *arXiv:astro-ph/0410690* 1 (lokakuu 2004). DOI: 10.48550/ARXIV.ASTRO-PH/0410690. URL: <https://arxiv.org/abs/astro-ph/0410690> (viitattu 27.01.2023).
- [16] N. T. Tillman ja D. Dobrijevic. *White dwarfs: Facts about the Dense Stellar Remnants*. Space.com, maaliskuu 2022. URL: <https://www.space.com/23756-white-dwarf-stars.html> (viitattu 27.01.2023).
- [17] R. Kippenhahn, A. Weigert ja A. Weiss. *Stellar Structure and Evolution*. 2. painos. Springer Berlin, 2012. URL: <https://link.springer.com/book/10.1007/978-3-642-30304-3> (viitattu 27.01.2023).
- [18] O. Väisänen. *Neutronitähden tilanyhtälön määrittäminen massa-säde -mittausten avulla*. LuK-tutkielma. Jyväskylän yliopisto, Fysiikan laitos, 2018.

- [19] A. Myers. *Natural System of Units in General Relativity*. 2016. URL: <https://www.seas.upenn.edu/~amyers/NaturalUnits.pdf> (viitattu 27.01.2023).
- [20] N. C. Hambly, S. J. Smartt ja S. T. Hodgkin. ”WD 0346+246: a Very Low Luminosity, Cool Degenerate in Taurus”. *The Astrophysical Journal* 489 (1997), s. L157–L160. DOI: 10.1086/316797. (Viitattu 27.01.2023).
- [21] G. P. McCook ja E. M. Sion. ”A Catalog of Spectroscopically Identified White Dwarfs”. *The Astrophysical Journal Supplement Series* 121 (maaliskuu 1999), s. 1–130. DOI: 10.1086/313186. (Viitattu 27.01.2023).
- [22] D. J. Eisenstein ym. ”A Catalog of Spectroscopically Confirmed White Dwarfs from the Sloan Digital Sky Survey Data Release 4”. *The Astrophysical Journal Supplement Series* 167 (marraskuu 2006), s. 40–58. DOI: 10.1086/507110. URL: <https://arxiv.org/abs/astro-ph/0606700> (viitattu 07.04.2021).
- [23] A. Carvalho, R. M. Marinho Jr ja M. Malheiro. ”Mass-Radius Relation for White Dwarfs Models at Zero Temperature”. *Journal of Physics: Conference Series* 706 (huhtikuu 2016). DOI: 10.1088/1742-6596/706/5/052016. (Viitattu 27.05.2021).
- [24] M. Shuntov. ”High-Energy Astrophysics: White Dwarfs and Neutron Stars -M1/S2 Project Report” (huhtikuu 2018). DOI: 10.13140/RG.2.2.13518.77121. URL: https://www.researchgate.net/publication/324845118_High-Energy_Astrophysics_White_Dwarfs_and_Neutron_Stars_-_M1S2_Project_Report?channel=doi&linkId=5ae787e3a6fdcc03cd8db2bc&showFulltext=true (viitattu 27.01.2023).
- [25] M. E. J. Newman. *Computational physics*. Createspace, 2013.
- [26] A. Voutilainen. *TOV_solver*. GitHub, elokuu 2022. URL: https://github.com/Awisuals/TOV_solver (viitattu 27.01.2023).

A Python, TOV-yhtälön solveri

```

1  # -*- coding: utf-8 -*-
2  """
3  Created on Wed Oct  5  2022
4
5  @author: Antero
6  """
7  from scipy.integrate import solve_ivp
8  import numpy as np
9  import matplotlib.pyplot as plt
10 import matplotlib.gridspec as gridspec
11
12 from functions import *
13 from structure_equations import *
14 """
15 Write DE-group as:
16     EoS -> pressure
17     TOV -> Energy density
18 And solve it.
19 """
20
21 def set_initial_conditions(rmin, G, K, rho0=0., p0=0., a=0):
22     """
23     Utility routine to set initial data. Can be given either
24     pressure or energy density at core. Value a tells
25     which is first.
26
27     Parameters
28     -----
29     rmin : Float
30         Lower limit for integration.
31     G : Float
32         Polytrope constant power.
33     K : Float
34         Polytrope constant of proportionality.
35     rho0 : Float, optional
36         Given energy density at core. The default is 0.
37     p0 : Float, optional
38         Given pressure at core. The default is 0.
39     a : Int, optional
40         Choice for given initial value. Another is then 0 and
41         calculated from EoS. Can take both also.
42
43     Choice:
44         a = 0 is for given rho0.
45         a = 1 is for given p0.
46         a = 2 is for given rho0 and p0.
47         a = 3 is for given rho0 and computes p0.
48
49     The default is 0.
50
51     Returns
52     -----
53     m : Float
54         Mass inside radius rmin.
55     p : Float
56         pressure at r ~ 0.
57     rho : Float
58         Energy density at r ~ 0.
59
60     """
61     rho_values0 = [rho0, EoS_choiser(0, p=p0, Gamma=G, Kappa=K), rho0, rho0]
62     p_values0 = [EoS_choiser(1, rho=rho0, Gamma=G, Kappa=K), p0, p0, EoS_choiser(2,
63     rho=rho0)]
64     if a == 0:
65         rho = rho_values0[a]
66         p = p_values0[a]
67     if a == 1:
68         p = p_values0[a]
69         rho = rho_values0[a]
70     if a == 2:
71         rho = rho0
72         p = p0

```

```

72     if a == 3:
73         rho = rho_values0[a]
74         p = p_values0[a]
75     m = 4./3.*np.pi*rho0*rmin**3
76     return m, p, rho
77
78
79 def TOV_rho(r, y, K, G, interpolation, eos_choise, tov_choise, rho_center):
80
81     # HUOM! TÄNNE ALKUARVAUKSET LUONNOLLISISSA YKSIKÖISSÄ GeV^x!
82     # NOTE! Here are the initial guesses in natural units GeV^x!
83
84     # Asetetaan muuttujat taulukkoon
85     # Paine valitaan valitsin-funktiossa.
86     # //
87     # Let's set the variables in the table.
88     # The energy density is selected in the selector function.
89     m = y[0].real + 0j
90     rho = y[1].real + 0j
91     p = EoS_choiser(eos_choise, interpolation, G, K, 0, rho).real + 0j
92
93     # Ratkaistavat yhtälöt // Equations to be solved
94     dy = np.empty_like(y)
95     # Massa ja Energiatiheys DY // Mass and energy density DE
96     dy[0] = Mass_in_radius(rho, r) # dmdr
97     dy[1] = TOV_choiser(tov_choise, m, p, rho, r) # drhodr
98
99     return dy
100
101
102 def found_radius(t, y, d1, d2, d3, d4, d5, d6):
103     """
104     Event function: Defined boundary of pressure
105     ODE integration stops when this function returns True
106
107     Parameters
108     -----
109     t : TYPE
110         DESCRIPTION.
111     y : TYPE
112         DESCRIPTION.
113     d1, d2, d3, d4, d5, d6 : args
114         Dummy params.
115
116     Returns
117     -----
118     None
119         Checks when energy density reaches zero.
120
121     """
122     d1, d2, d3, d4, d5, d6 = d1, d2, d3, d4, d5, d6
123     pressure = EoS_degelgas(y[1].real)
124     return pressure >= 0*d6# 4.3e21 # 1e16
125
126
127 # Määritellään funktio TOV-yhtälöiden ratkaisemiseksi ja koodin ajon
128 # helpottamiseksi. Funktiolle annetaan kasa parametreja ja se ratkaisee
129 # aiemmin määritellyt yhtälöt.
130 # //
131 # Let's define a function to solve the TOV equations and to help run the code
132 # easier. The function is given a bunch of parameters and it solves
133 # previously defined equations.
134 def TOV_solver(ir=[], n=0, R_body=0, kappa_choise=0, rho_K=0, p_K=0, rho_c=0,
135               p_c=0, a=0, eos_choise=0, tov_choise=0, interpolation=0, body=""):
136     """
137     Appropriate initial values and equations can be chosen. Solves TOV equations
138     in this case for the corresponding astrophysical body. As a solution
139     the mass, pressure, energy density and radius of an astrophysical body
140     are obtained.
141
142     Solver works in natural units (but can be manually changed) so be sure
143     to input values in correct units! Function returns solutions in natural

```

```

144     units also.
145
146     Parameters
147     -----
148     ir : Array
149         Integration range, pre defined to [5.067e12, np.inf].
150     n : Float
151         Polytrope index.
152     R_body : Float, optional
153         Approximate the radius of the astrophysical body
154         to be modeled. The default is 0..
155     kappa_choise : Int, optional
156         Choise for which way Kappa is computed:
157             0=kappa_from_p0rho0 (needs corresponding p and rho)
158             1=kappa_from_r0rho0n (needs approximate radius and CENTRAL rho)
159     rho_K : Float, optional
160         Energy density for which we want calculate
161         the corresponding constant of proportionality. The default is 0..
162     p_K : Float, optional
163         Pressure for which we want calculate
164         the corresponding constant of proportionality.
165         ONLY NEEDED WHEN kappa_choise=0. Has to be corresponding
166         to rho_K. The default is 0..
167     rho_c : Float, optional
168         Central energy density. Used to compute initial values.
169         The default is 0..
170     p_c : Float, optional
171         Central pressure. Used to compute initial values. The default is 0..
172     a : Int, optional
173         Can be:
174             a=0, 1, 2, 3
175         Choise for given initial value. Please refer to
176         set_initial_conditions-function documentation for
177         additional information. The default is 0..
178     EoS_choise : Int, optional
179         Choise for what EoS is used to compute initial values.
180         Choise:
181             0=Polytrope EoS.
182             1=Interpolated EoS from data.
183             2=Degenerate electron gas
184         Please refer to EoS_choiser-function for additional information.
185         The default is 0..
186     TOV_choise : int, optional
187         Choise for tov-equation:
188             0=TOV, integrate p
189             1=NEWT, integrate p
190             2=TOV, integrate rho
191             3=NEWT, integrate rho
192     interpolation : interpolate, optional
193         Has to be given if choise EoS_choise=1. Otherwise can be ignored.
194         The default is 0..
195     body : String
196         Changes title for graphs. Input depending what is modeled.
197         ATM isn't necessary.
198
199     Returns
200     -----
201     r : Array
202         Radius solution for modeled body.
203     m : Array
204         Mass solution for modeled body.
205     p : Array
206         Pressure solution for modeled body.
207     rho : Array
208         Energy density solution for modeled body.
209
210     """
211     # Määrätään vakioita.
212     # //
213     # Determine constants.
214     M_sun = 1.9891e30 # kg
215     R_earth = 6371 # km

```



```

216
217 # Asetetaan integrointiparametrit.
218 # Integraattori adaptiivinen, lopettaa integroinnin tähden rajalla.
219 # //
220 # Let's set the integration parameters.
221 # Integrator adaptive, stops the integration at the star boundary.
222 if len(ir)!=0: rmin, rmax = ir[0], ir[1]
223 else: rmin, rmax = 5.067e12, np.inf
224
225 # Ode-ratkaisijan lopettaminen ehdon täyttyessä.
226 # //
227 # Termination of ode solver when met with condition.
228 found_radius.terminal = True # Should be true when works
229 found_radius.direction = -1
230
231 # Asetetaan alkuarvot // Set initial values
232 if n != 0: Gamma = gamma_from_n(n); Kappa = kappa_choiser(kappa_choise, p_K, rho_K
, Gamma, R_body, n)
233 else: Gamma, Kappa = 0.1, 0.1
234
235 m0, p0, rho0 = set_initial_conditions(rmin, Gamma, Kappa, rho_c, p_c, a)
236 y0 = m0, p0, rho0
237
238 # Tulostetaan annetut parametrit // Print given params
239 print("\n Model of your choose and semi-realistic params for it:" +
240 "\n Integration range = " + str(ir) +
241 "\n Model = " + str(body) +
242 "\n n = " + str(n) +
243 "\n R_body = " + str(R_body) +
244 "\n kappa_choise = " + str(kappa_choise) +
245 "\n rho_K = " + str(rho_K) +
246 "\n p_K = " + str(p_K) +
247 "\n rho_c = " + str(rho_c) +
248 "\n p_c = " + str(p_c) +
249 "\n a = " + str(a) +
250 "\n eos_choise = " + str(eos_choise) +
251 "\n tov_choise = " + str(tov_choise) +
252 "\n interpolate = " + str(interpolation) + "\n \n")
253
254 print("Tulostetaan polytrooppivakiot:")
255 + "\n Kappa: " + str(Kappa)
256 + "\n Gamma: " + str(Gamma) + "\n \n")
257
258 print("Asetetut alkuarvot (m, p ja rho):")
259 + "\n m: " + str(y0[0])
260 + "\n p: " + str(y0[1])
261 + "\n rho: " + str(y0[2]) + "\n \n")
262
263 # Ratkaistaan TOV annetuilla parametreilla
264 # //
265 # Let's solve the TOV with the given parameters
266 # NOTE Best performance/resolution: One solution max_step=1e20
267 # Closer to core smaller 1e18
268 # MR-relation zoom 5e19.
269 soln = solve_ivp(TOV_rho, (rmin, rmax), (m0.real, rho0.real), method='BDF',
270 dense_output=False, events=found_radius, max_step = 1e18,
271 args=(Kappa, Gamma, interpolation, eos_choise, tov_choise, rho0.real))
272
273 print("\n Solverin parametreja:")
274 print(soln.nfev, 'evaluations required')
275 print(soln.t_events)
276 print(soln.y_events)
277 print("\n")
278
279 # Energiatiheyden alkuarvaus // Energy denisty initial guess
280 # SI-units
281 rho0_si = '{:0.2e}'.format(rho0.real * 2.0852e37)
282 # TOV ratkaisut // TOV solutions
283 # Ratkaisut yksiköissä // Solutions in units:
284 # [m] = GeV, [p] = GeV^4 ja [rho] = GeV^4
285 r = soln.t * 1.9733e-16 * 1e-3 / R_earth # 2.6544006e-25*1e9
286 m = soln.y[0].real * 1.7827e-27 / M_sun # / 1.9891e30 # 1.7827e-36

```

```

287 rho = soln.y[1].real * 2.0852e37 # 3.16435553043e40
288 p = EoS_degelgas(rho) * 2.0852e37 # 3.16435553043e40
289
290 print("Saadut TOV ratkaisut ([m] = GeV, [p] = GeV^4 ja [rho] = GeV^4): \n")
291 print("Säde: \n \n" + str(r.real) +
292 "\n \n Massa: \n \n" + str(m.real) +
293 "\n \n Energiatiheys: \n \n" + str(rho.real) +
294 "\n \n Paine : \n \n" + str(p.real) + "\n \n")
295
296 # # # Piirretään ratkaisun malli kuvaajiin yksiköissä:
297 # # # //
298 # # # Let's plot the model of the solution on graphs in units:
299 # # # [m] = kg, [p] = Pascal ja [rho] = J/m^3
300 gs = gridspec.GridSpec(2, 2)
301 plt.figure()
302
303 ax1 = plt.subplot(gs[0, :])
304 ax2 = plt.subplot(gs[1, 0])
305 ax3 = plt.subplot(gs[1, 1])
306 ax1.plot(r, m, color='r', label=fr'Massa, ' '\n' fr'\rho_{"c"}$ = {\rho0_si}' r'
307 $\frac{\mathrm{J}}{\mathrm{m}^3}$')
308 ax2.plot(r, p, color='g', label=fr'Paine, ' '\n' fr'\rho_{"c"}$ = {\rho0_si}' r'
309 $\frac{\mathrm{J}}{\mathrm{m}^3}$')
310 ax3.plot(r, rho, color='b', label=fr'Energiatiheys, ' '\n' fr'\rho_{"c"}$ = {
311 rho0_si}' r' $\frac{\mathrm{J}}{\mathrm{m}^3}$')
312
313 ax1.set(xlabel=r'Säde, r ($R_{\text{Earth}}$)',
314 ylabel= r'Massa, m ($M_{\text{Sun}}$)',
315 xscale="linear", yscale="linear")
316 ax1.set_title('a)', loc="left")
317 ax1.legend(shadow=True, fancybox=True)
318 ax1.grid()
319 ax2.set(xlabel=r'Säde, r ($R_{\text{Earth}}$)',
320 ylabel=r'Paine, p (Pa)',
321 xscale="linear", yscale="linear")
322 ax2.set_title('b)', loc="right")
323 ax2.legend(shadow=True, fancybox=True)
324 ax2.grid()
325 ax3.set(xlabel=r'Säde, r ($R_{\text{Earth}}$)',
326 ylabel=r'Energiatiheys, $\rho$ ($\frac{\mathrm{J}}{\mathrm{m}^3}$)',
327 xscale="linear", yscale="linear")
328 ax3.set_title('c)', loc="right")
329 ax3.legend(shadow=True, fancybox=True)
330 ax3.grid()
331
332 plt.show()
333
334 print("Tähden säde: \n" + str(r[-1]) +
335 "\n Tähden massa: \n" + str(m[-1]) +
336 "\n \n")
337
338 return r.real, m.real, p.real, rho.real
339
340 def Models(model, args=[]):
341 """
342 Main function to drive TOV_solver. couple of example
343 parameters given and then passes them to solver.
344
345 Parameters
346 -----
347 model : string
348 Choose between given models in model_choise array.
349 args : list, optional
350 Insert custom params, by default []
351 """
352 model_choise = ["WD_NREL", "WD_REL"]
353 model_params = [[0, 0, 0, 0, 0, 2e-14+0j, 0, 3, 2, 3, 0,
354 "Non-relativistic White Dwarf"],
355 [0, 0, 0, 0, 0, 2e-11+0j, 0, 3, 2, 2, 0,
356 "Relativistic White Dwarf"]]

```

```

356     if model == "CUSTOM":
357         n                =args[0]
358         R_body           =args[1]
359         kappa_choise    =args[2]
360         rho_K           =args[3]
361         p_K             =args[4]
362         rho_c           =args[5]
363         p_c             =args[6]
364         a               =args[7]
365         rho_func        =args[8]
366         p_func          =args[9]
367         interpolation    =args[10]
368         body            =args[11]
369     else:
370         for i, m in enumerate(model_choise):
371             if m == model:
372                 print(m)
373                 print(i)
374                 n                =model_params[i][0]
375                 R_body           =model_params[i][1]
376                 kappa_choise    =model_params[i][2]
377                 rho_K           =model_params[i][3]
378                 p_K             =model_params[i][4]
379                 rho_c           =model_params[i][5]
380                 p_c             =model_params[i][6]
381                 a               =model_params[i][7]
382                 rho_func        =model_params[i][8]
383                 p_func          =model_params[i][9]
384                 interpolation    =model_params[i][10]
385                 body            =model_params[i][11]
386
387     TOV_solver(ir=[],
388               n=n,
389               R_body=R_body,
390               kappa_choise=kappa_choise,
391               rho_K=rho_K,
392               p_K=p_K,
393               rho_c=rho_c,
394               p_c=p_c,
395               a=a,
396               eos_choise=rho_func,
397               tov_choise=p_func,
398               interpolation=interpolation,
399               body=body)
400
401 Models("WD_REL")
402

```


B Python, Massa-Säde relaatio

```

1  # -*- coding: utf-8 -*-
2  """
3  Created on Wed Oct 5 2022
4
5  @author: Antero
6  """
7  import numpy as np
8  import matplotlib.pyplot as plt
9  from mpl_toolkits.axes_grid1.inset_locator import inset_axes
10
11  from functions import *
12  from structure_equations import *
13  from TOV_solver_rho import *
14  """
15  Ratkaistaan massa-säde relaatio. Etsitään TOV-yhtälöiden ratkaisuja
16  jollakin rhospan-alueella. Ratkaistaan yhtälöitä siis tähden keskipisteen eri
17  energiatiheyksien arvoilla. Etsii ratkaisuja rho-muotoisesta tov-yhtälöstä.
18
19  Etsitään tähden raja (find_radius) paineen ratkaisusta ja sitä vastaava
20  massa massan kuvaajasta. Tallennetaan nämä arvot taulukkoon ja piirretään
21  kuvaaja.
22
23  Mallinnetaan nyt useaa tähteä ja piirretään
24  Massa-Säde - relaatio.
25  //
26  Let's solve the mass-radius relation. We are looking for solutions to the
27  TOV equations in some rhostname area. So let's solve the equations
28  from the center of the star with varying values of energy densities. Finds
29  solutions to a tov equation in rho form.
30
31
32  Let's find the limit of the star (find_radius) from the pressure solution
33  and its equivalent mass from the mass solution. Let's save these values in
34  an array and plot them.
35
36  Now let's model several stars and plot them
37  Mass-Radius - relation.
38  """
39
40  def MR_relaatio(rho_min1, rho_min2, rho_max, N_MR1, N_MR2):
41      """Solves mass-radius - relation.
42
43      Parameters
44      -----
45      rho_min1 : float
46          Lower limit of central energy densities for bigger graph.
47      rho_min2 : float
48          Lower limit of central energy densities for inset graph.
49      rho_max : float
50          Higher limit of central energy densities.
51      N_MR1 : int
52          Bigger graph points.
53      N_MR2 : int
54          Inset graph points.
55      """
56
57      # Build N_MR1 or N_MR2 amount of star models
58      rhostname1 = np.logspace(np.log10(rho_min1), np.log10(rho_max), N_MR1)
59      rhostname2 = np.logspace(np.log10(rho_min2), np.log10(rho_max), N_MR2)
60      print("\n \n rhostname: " + str(rhostname1))
61
62      R_tov = []
63      M_tov = []
64
65      R_newt = []
66      M_newt = []
67
68      R_tov_zoom = []
69      M_tov_zoom = []
70
71      R_newt_zoom = []
72      M_newt_zoom = []

```

```

73
74 # Ratkaise TOV jokaiselle rho0:lle rhostname alueessa.
75 # //
76 # Solve the TOV for each rho0 in the range of rhostname.
77 for rho0 in rhostname1:
78     r_tov, m_tov, p_tov, rho_tov = TOV_solver(ir=[],
79         n=0,
80         R_body=0,
81         kappa_choise=0,
82         rho_K=0,
83         p_K=0,
84         rho_c=rho0,
85         p_c=0,
86         a=3,
87         eos_choise=2,
88         tov_choise=2,
89         interpolation=0,
90         body="TOV White dwarf")
91     r_boundary = r_tov[-1]
92     m_boundary = m_tov[-1]
93     R_tov.append(r_boundary)
94     M_tov.append(m_boundary)
95
96     r_newt, m_newt, p_newt, rho_newt = TOV_solver(ir=[],
97         n=0,
98         R_body=0,
99         kappa_choise=0,
100        rho_K=0,
101        p_K=0,
102        rho_c=rho0,
103        p_c=0,
104        a=3,
105        eos_choise=2,
106        tov_choise=3,
107        interpolation=0,
108        body="NEWT White dwarf")
109    r_boundary = r_newt[-1]
110    m_boundary = m_newt[-1]
111    R_newt.append(r_boundary)
112    M_newt.append(m_boundary)
113
114    print("\n \n rhostname2: " + str(rhostname2))
115
116    for rho0 in rhostname2:
117        r_tov_zoom, m_tov_zoom, p_tov_zoom, rho_tov_zoom = TOV_solver(ir=[],
118            n=0,
119            R_body=0,
120            kappa_choise=0,
121            rho_K=0,
122            p_K=0,
123            rho_c=rho0,
124            p_c=0,
125            a=3,
126            eos_choise=2,
127            tov_choise=2,
128            interpolation=0,
129            body="TOV White dwarf")
130        r_boundary = r_tov_zoom[-1]
131        m_boundary = m_tov_zoom[-1]
132        R_tov_zoom.append(r_boundary)
133        M_tov_zoom.append(m_boundary)
134
135        r_newt_zoom, m_newt_zoom, p_newt_zoom, rho_newt_zoom = TOV_solver(ir=[],
136            n=0,
137            R_body=0,
138            kappa_choise=0,
139            rho_K=0,
140            p_K=0,
141            rho_c=rho0,
142            p_c=0,
143            a=3,
144            eos_choise=2,

```

```

145         tov_choise=3,
146         interpolation=0,
147         body="NEWT White dwarf")
148     r_boundary = r_newt_zoom[-1]
149     m_boundary = m_newt_zoom[-1]
150     R_newt_zoom.append(r_boundary)
151     M_newt_zoom.append(m_boundary)
152
153     # Plottaa massa-säde - relaation.
154     # //
155     # Pplot the mass-radius relation.
156     fig, ax1 = plt.subplots()
157     axins1 = inset_axes(ax1, width='30%', height='40%', loc='lower right',
158                       bbox_to_anchor=(-0.12, 0.3, 1.1, 1.2),
159                       bbox_transform=ax1.transAxes)
160
161     ax1.plot(R_tov, M_tov, color='b', label=fr'TOV')
162     ax1.plot(R_newt, M_newt, color='red', label='Newtonilainen' , linestyle='--')
163     ax1.set(# title="a", title_position='left',
164           xlabel=r'Säde, r ( $R_{\text{Earth}}$ )',
165           ylabel= r'Massa, m ( $M_{\text{Sun}}$ )',
166           xscale="linear", yscale="linear")
167     ax1.set_title('d', loc="left")
168     ax1.legend(shadow=True, fancybox=False)
169     ax1.grid()
170
171     axins1.plot(R_tov_zoom, M_tov_zoom, color='b')
172     axins1.plot(R_newt_zoom, M_newt_zoom, color='red', linestyle='--')
173     axins1.set(# title="a", title_position='left',
174             xscale="linear", yscale="log")
175     axins1.grid()
176
177     plt.show()
178     return
179
180 MR_relaatio(2e-14+0j, 8e-10+0j, 8e-6+0j, 50, 75)
181

```


C Python, Teorioiden suhde

```

1  # -*- coding: utf-8 -*-
2  """
3  Created on Fri Nov 18 2022
4
5  @author: Antero
6  """
7  import numpy as np
8  import matplotlib.pyplot as plt
9  import matplotlib.gridspec as gridspec
10
11 from structure_equations import *
12 from TOV_solver_rho import *
13
14 def Relativistic_Terms():
15     """
16     Solves TOV-equations and newt-pressure twice for two white dwarves
17     with different central energy density and plots the differences between
18     these two theories.
19
20     Returns
21     -----
22     None
23
24     """
25
26     # Määritellään ratkaistavien WD:en parametreja.
27     # //
28     # The parameters of the WDs to be solved are defined.
29
30     # Pressure at the center.
31     rho_center_thin = 2e-11+0j
32     rho_center_dense = 2e-7+0j
33     # Radius of WD with previous energy densities.
34     skaala_thin = 1.286770048879275
35     skaala_dense = 0.13169421547674232
36     # How close to the core we want to solve the equations again
37     # to get good resolution for the difference between theories.
38     kerroin_thin = 0.9
39     kerroin_dense = 0.9
40     # Some formatting for graphs.
41     rho_center_d_si = '{:0.2e}'.format(rho_center_dense.real * 2.0852e37)
42     rho_thin_d_si = '{:0.2e}'.format(rho_center_thin.real * 2.0852e37)
43     R_koko_thin = '{:0.2e}'.format(skaala_thin)
44     R_koko_dense = '{:0.2e}'.format(skaala_dense)
45
46     def Tov_Newt_suhde(k, s, rho0):
47         """
48         Solves the structure of WD with given core density.
49
50         Parameters
51         -----
52         k : float
53             How close to the core we want to be.
54         s : float
55             Radius of wanted star for integration range.
56         rho0 : float
57             Core density.
58
59         Returns
60         -----
61         array
62             Returns the radius of stars and the ratio
63             between solutions of these theories.
64         """
65         r_tov, m_tov, p_tov, rho_tov = TOV_solver(ir=[5.067e12, k*(s/(
66             1.9733e-16 * 1e-3 / 6371))],
67             n=0,
68             R_body=0,
69             kappa_choise=0,
70             rho_K=0,
71             p_K=0,
72             rho_c=rho0,

```

```

72         p_c=0,
73         a=3,
74         eos_choise=2,
75         tov_choise=2,
76         interpolation=0,
77         body="TOV White dwarf")
78
79         r_newt, m_newt, p_newt, rho_newt = TOV_solver(ir=[5.067e12, k*(s/(
80             1.9733e-16 * 1e-3 / 6371))],
81             n=0,
82             R_body=0,
83             kappa_choise=0,
84             rho_K=0,
85             p_K=0,
86             rho_c=rho0,
87             p_c=0,
88             a=3,
89             eos_choise=2,
90             tov_choise=3,
91             interpolation=0,
92             body="NEWT White dwarf")
93
94         Delta_Rho = rho_newt[:-1] / rho_tov[:-1]
95         return r_newt, Delta_Rho
96
97     r_thin, rho_thin = Tov_Newt_suhde(kerroin_thin, skaala_thin, rho_center_thin)
98     r_dense, rho_dense = Tov_Newt_suhde(kerroin_dense, skaala_dense,
99     rho_center_dense)
100
101     # Plotataan kuvat. // Plot all graphs.
102
103     gs = gridspec.GridSpec(1, 2)
104     plt.figure()
105
106     ax1 = plt.subplot(gs[0, 0])
107     ax2 = plt.subplot(gs[0, 1])
108
109     ax1.plot(np.flip(r_dense[:-1])/skaala_dense, rho_dense, color='b',
110             label=fr'Teorioiden välinen suhde keskipisteen parametreilla' '\n'
111             fr'$\rho_{"c"}$ = {\rho_center_d_si}' r'
112             $\frac{\mathrm{J}}{\mathrm{m}^3}$' '\n' r'$R_{WD}$' fr' = {
113             R_koko_dense}' r' $R_{Earth}$')
114
115     ax2.plot(np.flip(r_thin[:-1])/skaala_thin, rho_thin, color='r',
116             label=fr'Teorioiden välinen suhde keskipisteen parametreilla' '\n'
117             fr'$\rho_{"c"}$ = {\rho_thin_d_si}' r'
118             $\frac{\mathrm{J}}{\mathrm{m}^3}$' '\n' r'$R_{WD}$' fr' = {
119             R_koko_thin}' r' $R_{Earth}$')
120
121     ax1.set_xlabel=r'Säde, r ($R_{WD}$)',
122             ylabel= r'$\frac{\rho_{newt}}{\rho_{tov}}$',
123             xscale="linear", yscale="log")
124     ax1.set_title('e)', loc="left")
125     ax1.legend(shadow=True, fancybox=True)
126     ax1.grid()
127
128     ax2.set_xlabel=r'Säde, r ($R_{WD}$)',
129             ylabel=r'$\frac{\rho_{newt}}{\rho_{tov}}$',
130             xscale="linear", yscale="log")
131     ax2.set_title('f)', loc="left")
132     ax2.legend(shadow=True, fancybox=True)
133     ax2.grid()
134
135     plt.show()
136     return
137
138 Relativistic_Terms()

```


D Python, Määriteltyjä tilanyhtälöitä

```

1  # -*- coding: utf-8 -*-
2  """
3  Created on Wed Oct 5 2022
4
5  @author: Antero
6  """
7  import numpy as np
8  import scipy.constants as sc
9  import natpy as nat
10 """
11 Määritetään Tolman-Oppenheimer-Volkoff - yhtälöt (m, p, EoS),
12 jotka ratkaisemalla saadaan kuvattua tähden rakenne.
13 //
14 Determine the Tolman-Oppenheimer-Volkoff equations (m, p, EoS),
15 by solving which the structure of the star can be described.
16 """
17
18 def Mass_in_radius(rho, r):
19     dmdr = 4*np.pi*rho*r**2
20     return dmdr
21
22
23 def EoS_cd_p2rho(interpolation, p_point):
24     """
25     Equation of state from custom interpolated (P, RHO)-data.
26
27     Parameters
28     -----
29     interpolation : Interpolate function.
30         Returns rho when given p.
31     p_point : Float, Array
32         Pressure of a astrophysical body.
33
34     Returns
35     -----
36     Float, Array
37         Returns RHO as a function of P.
38
39     """
40     return interpolation(p_point)
41
42
43 def EoS_r2p(rho, Gamma, Kappa):
44     """
45     Equation of state, EoS.
46
47     Given the energy density and constants returns the pressure.
48
49     Parameters
50     -----
51     rho : Float
52         Energy density.
53     Gamma : Float
54         Polytrope constant.
55     Kappa : Float
56         Constant of proportionality.
57
58     Returns
59     -----
60     p : Float
61         Pressure.
62
63     """
64     p = Kappa*rho**Gamma
65     return p
66
67
68 def EoS_p2r(p, Gamma, Kappa):
69     """
70     Equation of state, EoS.
71
72     Given pressure and constants returns the energy density.

```

```

73
74     Parameters
75     -----
76     p : Float
77         Pressure.
78     Gamma : Float
79         Polytrope constant.
80     Kappa : Float
81         Constant of proportionality.
82
83     Returns
84     -----
85     rho : Float
86         Energy density.
87
88     """
89     rho = (p/Kappa)**(1/Gamma)
90     return rho
91
92
93 def EoS_degelgas(rho):
94     """
95     Degenerate electron gas equation of state.
96
97     Parameters
98     -----
99     rho : float
100         Pressure.
101
102     Returns
103     -----
104     float
105         Pressure from given energy density.
106     """
107     # Tilanyhtälön vakkioita // Equation of state constants
108     m_e = nat.convert(sc.electron_mass * nat.kg, nat.GeV).value
109     m_p = nat.convert(sc.proton_mass * nat.kg, nat.GeV).value
110     a = (m_e**4)/(3*np.pi**2)
111     b = ((3*np.pi**2)/(2*m_p*m_e**3))**(1/3)
112     # Tilanyhtälö // Equation of state
113     x = lambda rho : b*(rho)**(1/3)
114     f = lambda x : (1/8)*(x*(1+x**2))**(1/2)*(2*x**2-3)+3*np.log(x+(1+x**2)**(1/2))
115     return a*f(x(rho))
116
117
118 def Eos_degelgas_deriv(rho):
119     """
120     Degenerate electron gas equation of state derivate.
121     dp/drho.
122
123     Parameters
124     -----
125     rho : float
126         Energy density.
127
128     Returns
129     -----
130     float
131         Derivate value.
132     """
133     # Vakioita // Constants
134     m_e = nat.convert(sc.electron_mass * nat.kg, nat.GeV).value
135     m_p = nat.convert(sc.proton_mass * nat.kg, nat.GeV).value
136     a = (m_e**4)/(3*np.pi**2)
137     b = ((3*np.pi**2)/(2*m_p*m_e**3))**(1/3)
138     # Derivaatta // derivate
139     x = lambda y: b*y**(1/3)
140     dpdrho = (a*b)/(3*rho**(2/3))*((x(rho)**4)/((1+x(rho)**2)**(1/2)))
141     return dpdrho
142
143
144 def EoS_choiser(choise, interpolation=0., Gamma=0., Kappa=0., p=0., rho=0.):

```

```

145     """
146     Chooses wanted EoS for DE-group as rho and returns it
147     with given parameters.
148
149     Parameters
150     -----
151     choise : Int
152         Chooses between defined EoS to return.
153         Can be 0, 1 or 2.
154     interpolation : args
155     p : args
156     Gamma : argsz
157     Kappa : args
158
159     Returns
160     -----
161     returnable : Float, Array
162         Energy density with calculated with wanted EoS and given params.
163
164     """
165     if choise == 0:
166         returnable = EoS_p2r(p, Gamma, Kappa) # Energy density
167     if choise == 1:
168         # TODO add interpolate functions and params
169         returnable = interpolation # EoS_cd_p2rho(interpolation, p) # Energy density
170     if choise == 2:
171         returnable = EoS_degelgas(rho) # Pressure
172     return returnable
173
174
175 def TOV_choiser(choise, m=0., p=0., rho=0., r=0.):
176     """
177     Chooses between different tov functions.
178
179     Parameters
180     -----
181     choise : int
182         Chooses function:
183         choise=0 dpdr tov
184         choise=1 dpdr newt
185         choise=2 drhodr tov
186         choise=3 drhodr newt
187     m : float
188         Mass.
189     p : float
190         Pressure.
191     rho : float
192         Energy density.
193     r : float
194         Radius.
195
196     Returns
197     -----
198     float
199         Value for chosen hydrostatic equilibrium equation deriv.
200     """
201     # Gravitational constant in GeV^-2.
202     G = 6.707113e-39
203     if choise == 0:
204         # dpdr tov
205         tov = -(rho+p)*(m + 4*np.pi*r**3*p)/(r*(r-2*m))
206     if choise == 1:
207         # dpdr newt.
208         tov = -(m*rho)/(r**2)
209     if choise == 2:
210         # drhodr tov
211         tov = -(((rho+p)*(G*m + 4*np.pi*G*r**3*p))/(r*(r-2*G*m)))*(Eos_degelgas_deriv(
212             rho))**(-1)
213     if choise == 3:
214         # drhodr newt.
215         tov = -(G*m*rho)/(r**2)*(Eos_degelgas_deriv(rho))**(-1)
216     return tov

```